

Spis wykresów:

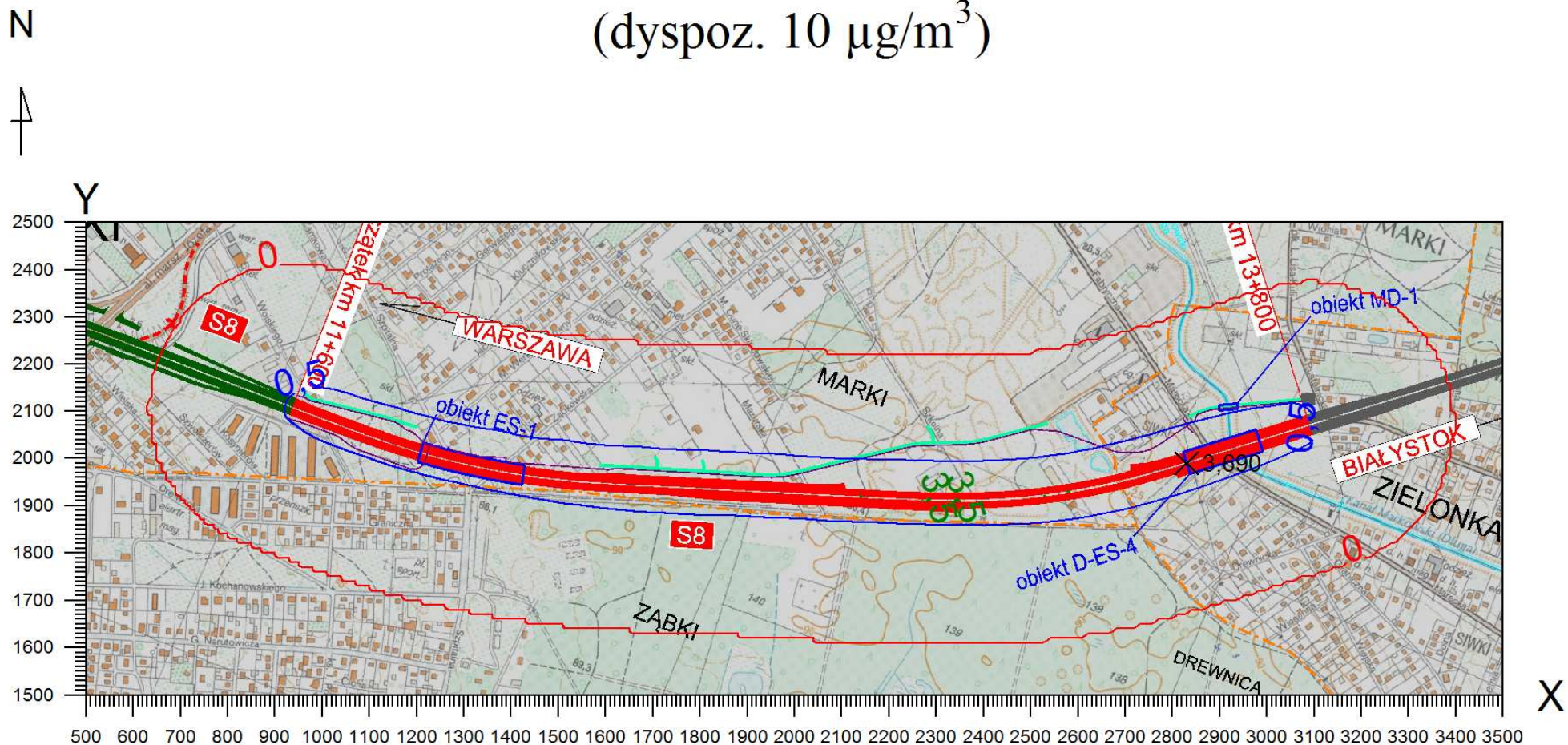
Wykres 1. Wykres stężeń średnich pyłu PM 10 w roku 2016.....	3
Wykres 2. Wykres stężeń maksymalnych pyłu PM 10 w roku 2016.....	4
Wykres 3. Wykres stężeń średnich dwutlenku siarki w roku 2016.....	5
Wykres 4. Wykres stężeń maksymalnych dwutlenku siarki w roku 2016.....	6
Wykres 5. Wykres stężeń średnich dwutlenku azotu w roku 2016.....	7
Wykres 6. Wykres stężeń maksymalnych dwutlenku azotu w roku 2016.....	8
Wykres 7. Wykres stężeń średnich tlenku węgla w roku 2016.....	9
Wykres 8. Wykres stężeń maksymalnych tlenku węgla w roku 2016.....	10
Wykres 9. Wykres stężeń średnich benzenu w roku 2016.....	11
Wykres 10. Wykres stężeń maksymalnych benzenu w roku 2016.....	12
Wykres 11. Wykres stężeń średnich węglowodorów aromatycznych w roku 2016.....	13
Wykres 12. Wykres stężeń maksymalnych węglowodorów aromatycznych w roku 2016.....	14
Wykres 13. Wykres stężeń średnich węglowodorów alifatycznych w roku 2016.....	15
Wykres 14. Wykres stężeń maksymalnych węglowodorów alifatycznych w roku 2016.....	16
Wykres 15. Wykres stężeń średnich pyłu PM 2,5 w roku 2016.....	17
Wykres 16. Wykres stężeń maksymalnych pyłu PM 2,5 w roku 2016.....	18
Wykres 17. Wykres stężeń średnich pyłu PM 10 w roku 2031.....	19
Wykres 18. Wykres stężeń maksymalnych pyłu PM 10 w roku 2031.....	20
Wykres 19. Wykres stężeń średnich dwutlenku siarki w roku 2031.....	21
Wykres 20. Wykres stężeń maksymalnych dwutlenku siarki w roku 2031.....	22
Wykres 21. Wykres stężeń średnich dwutlenku azotu w roku 2031.....	23
Wykres 22. Wykres stężeń maksymalnych tlenków azotu w roku 2031.....	24

Zasięg oddziaływania zanieczyszczeń - wykresy

Wykres 23. Wykres stężeń średnich tlenku węgla w roku 2031.....	25
Wykres 24. Wykres stężeń maksymalnych tlenku węgla w roku 2031	26
Wykres 25. Wykres stężeń średnich benzenu w roku 2031.....	27
Wykres 26. Wykres stężeń maksymalnych benzenu w roku 2031	28
Wykres 27. Wykres stężeń średnich węglowodorów aromatycznych w roku 2031.....	29
Wykres 28. Wykres stężeń maksymalnych węglowodorów aromatycznych w roku 2031	30
Wykres 29. Wykres stężeń średnich węglowodorów alifatycznych w roku 2031.....	31
Wykres 30. Wykres stężeń maksymalnych węglowodorów alifatycznych w roku 2031	32
Wykres 31. Wykres stężeń średnich pyłu PM 2,5 w roku 2031.....	33
Wykres 32. Wykres stężeń maksymalnych pyłu PM 2,5 w roku 2031.....	34

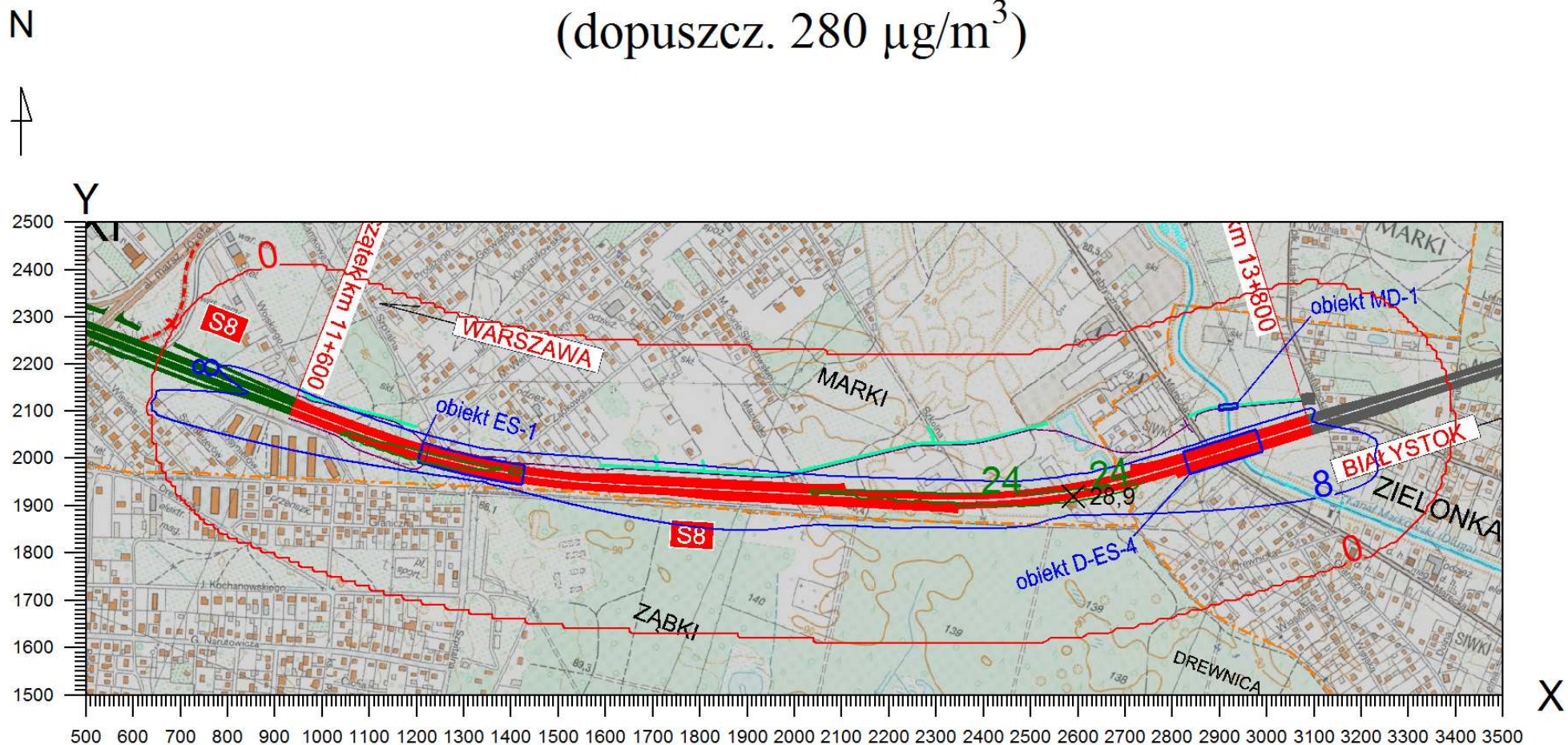
Wykres 1. Wykres stężeń średnich pyłu PM 10 w roku 2016

Izolinie stężeń średnich pyłu PM-10 $\mu\text{g}/\text{m}^3$ (dyspoz. $10 \mu\text{g}/\text{m}^3$)



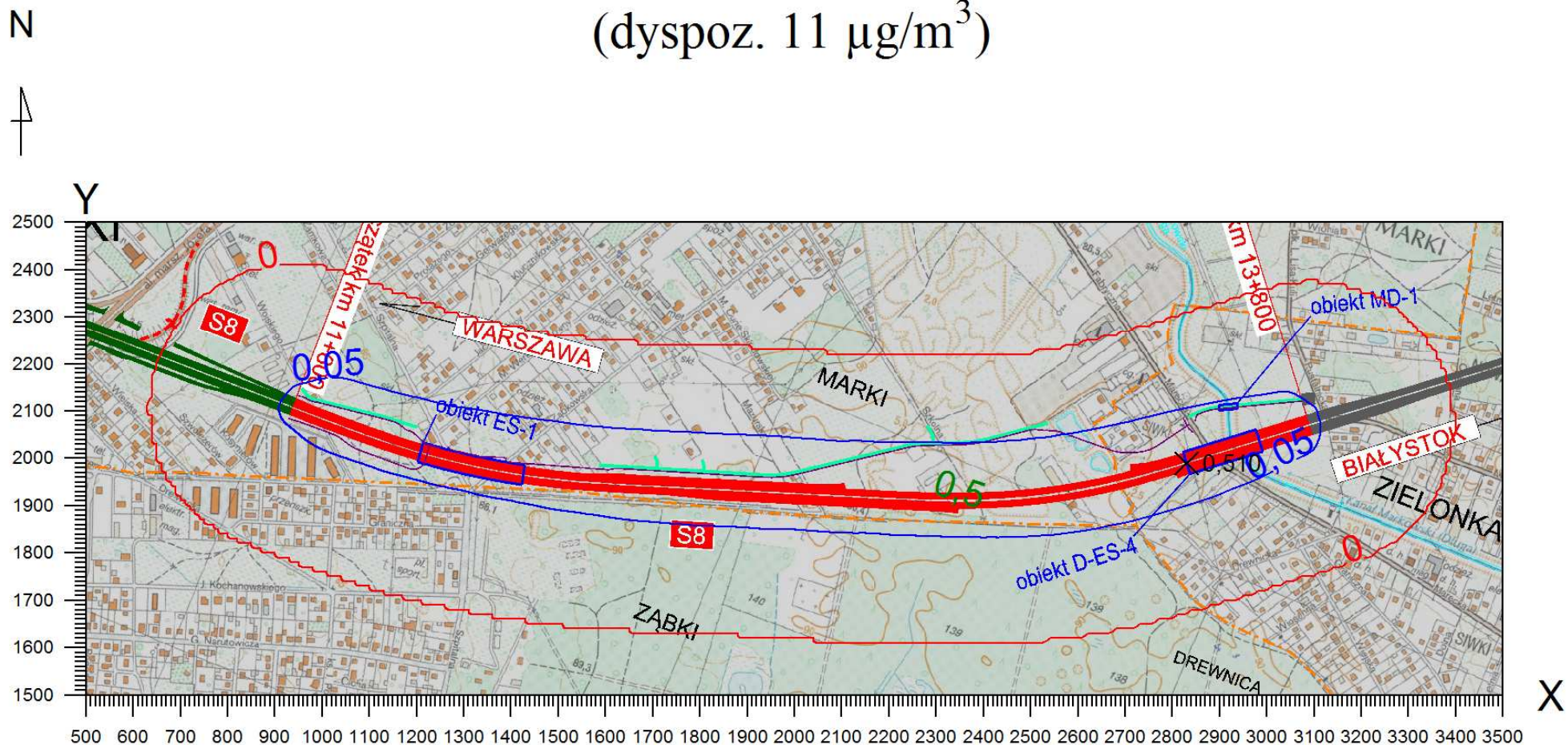
Wykres 2. Wykres stężeń maksymalnych pyłu PM 10 w roku 2016

Izolinie stężeń maksymalnych pyłu PM-10 $\mu\text{g}/\text{m}^3$ (dopuszcz. $280 \mu\text{g}/\text{m}^3$)



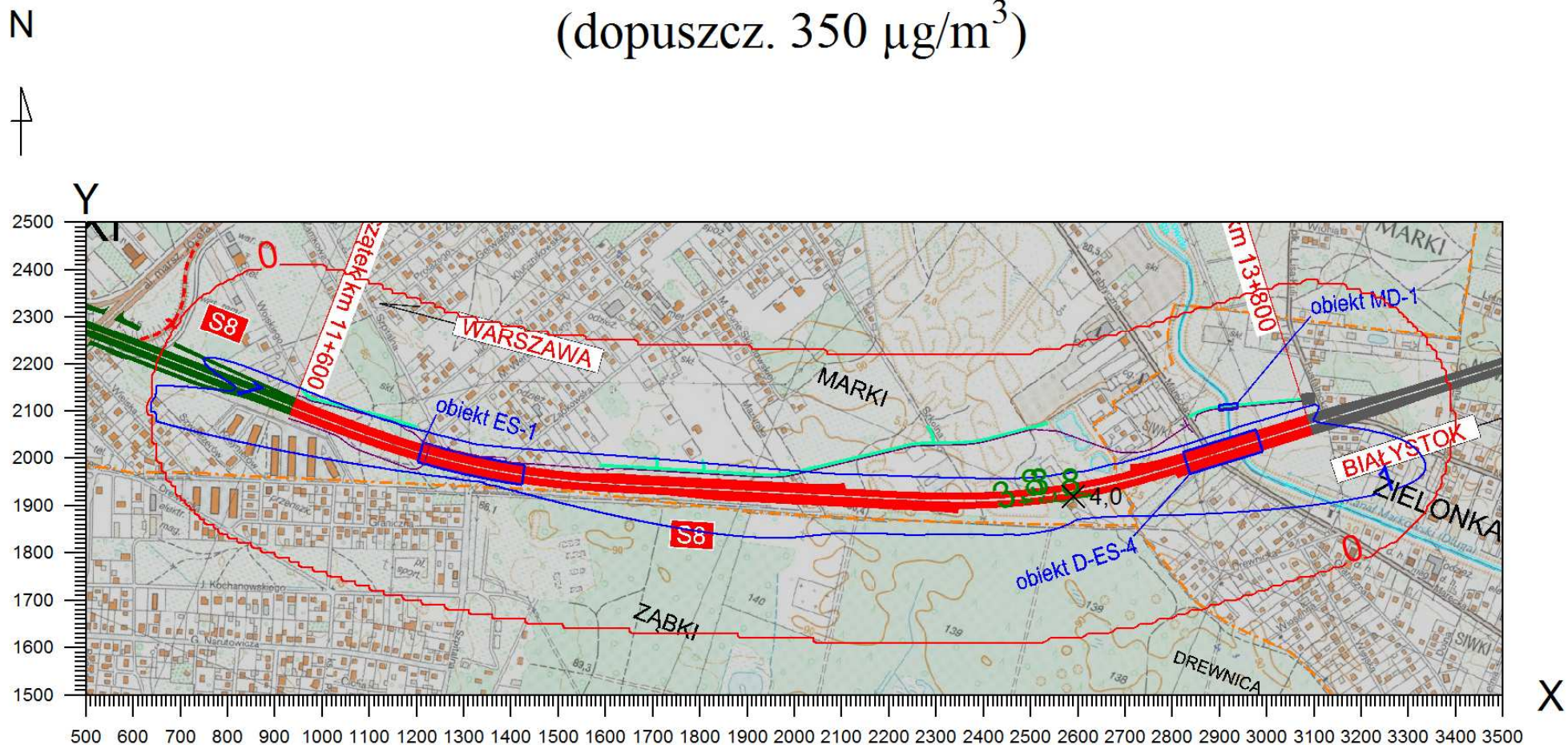
Wykres 3. Wykres stężeń średnich dwutlenku siarki w roku 2016

Izolinie stężeń średnich dwutlenku siarki $\mu\text{g}/\text{m}^3$ (dyspoz. $11 \mu\text{g}/\text{m}^3$)



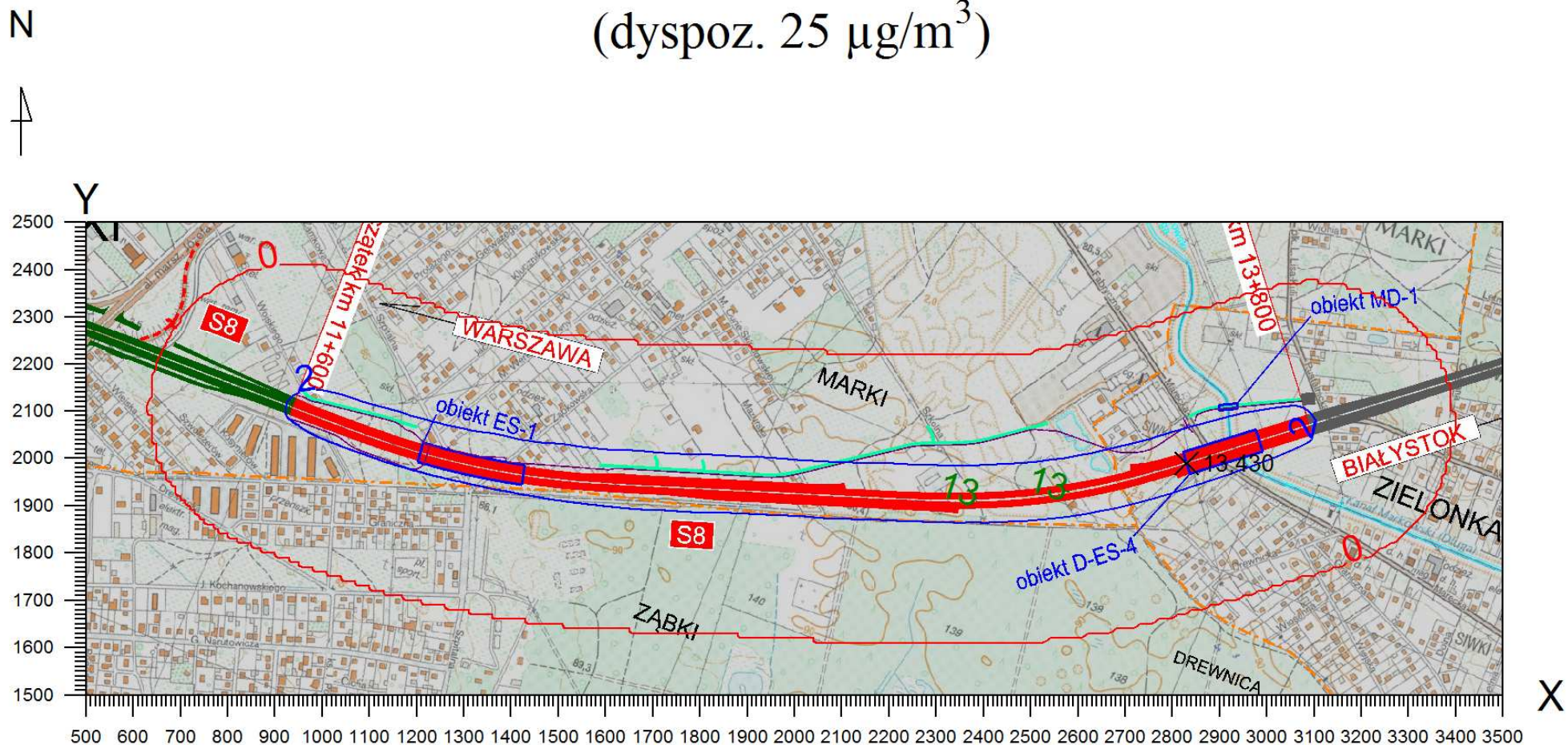
Wykres 4. Wykres stężeń maksymalnych dwutlenku siarki w roku 2016

Izolinie stężeń maksymalnych dwutlenku siarki $\mu\text{g}/\text{m}^3$ (dopuszcz. $350 \mu\text{g}/\text{m}^3$)



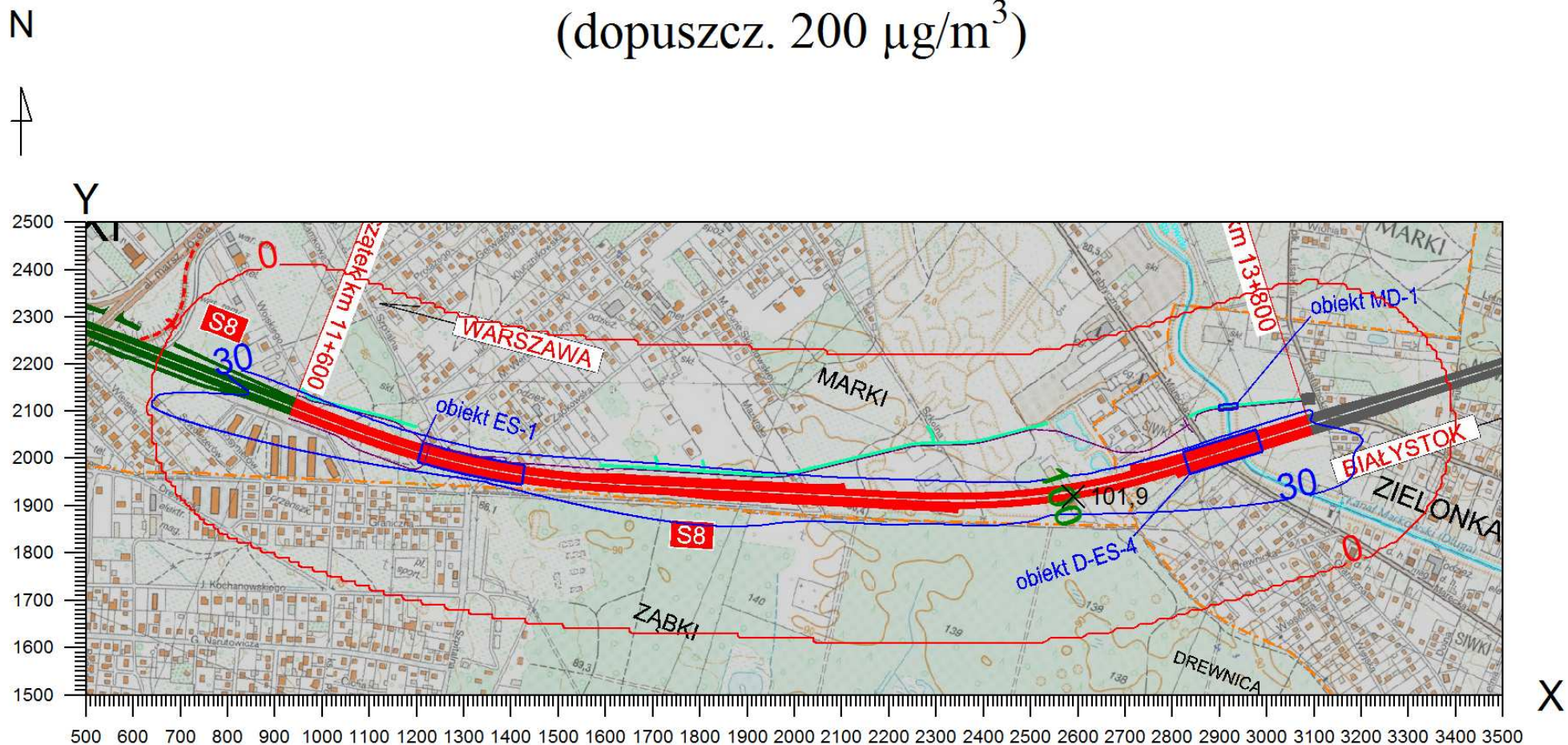
Wykres 5. Wykres stężeń średnich dwutlenku azotu w roku 2016

Izolinie stężeń średnich dwutlenku azotu $\mu\text{g}/\text{m}^3$ (dyspoz. $25 \mu\text{g}/\text{m}^3$)



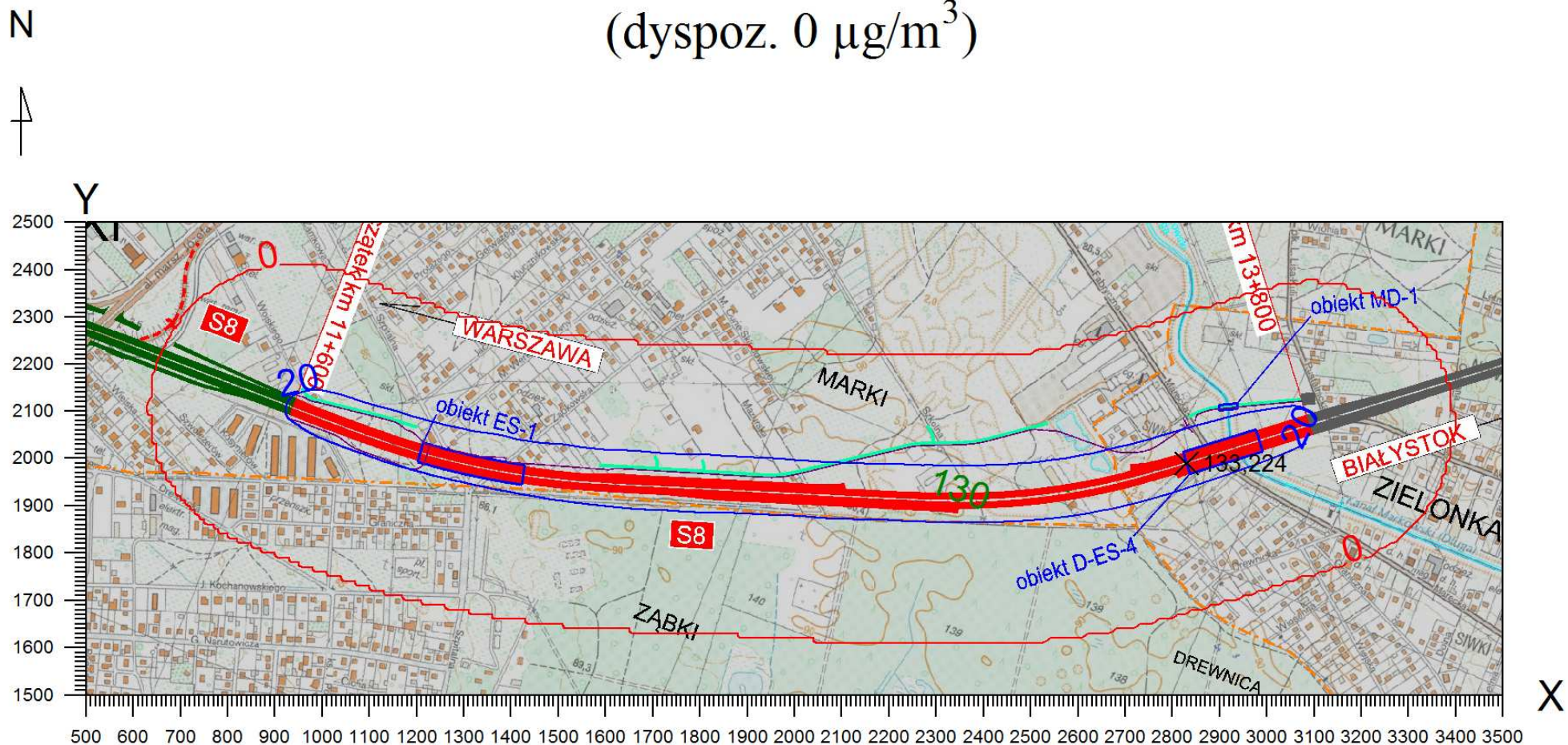
Wykres 6. Wykres stężeń maksymalnych dwutlenku azotu w roku 2016

Izolinie stężeń maksymalnych dwutlenku azotu $\mu\text{g}/\text{m}^3$ (dopuszcz. $200 \mu\text{g}/\text{m}^3$)



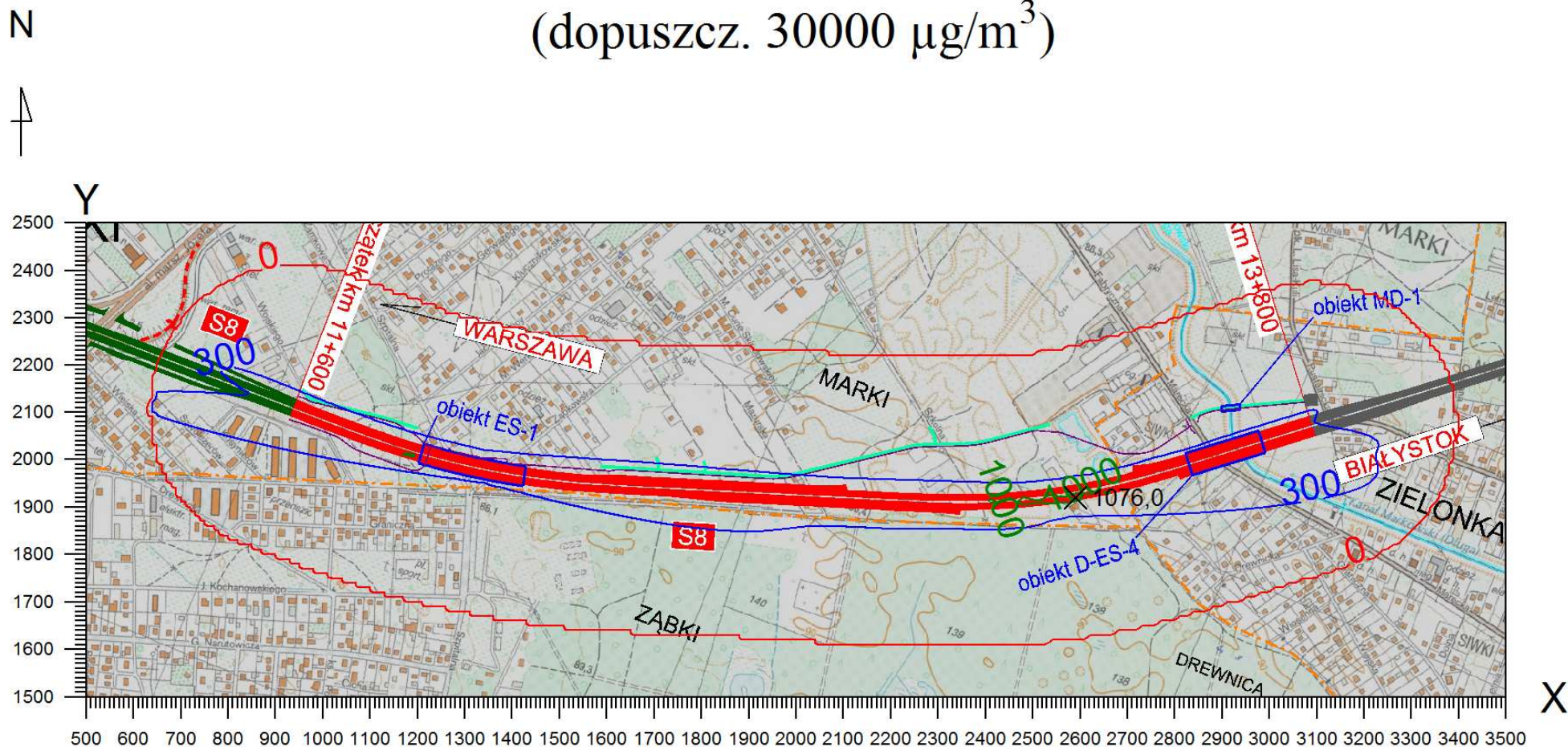
Wykres 7. Wykres stężeń średnich tlenku węgla w roku 2016

Izolinie stężeń średnich tlenku węgla $\mu\text{g}/\text{m}^3$ (dyspoz. 0 $\mu\text{g}/\text{m}^3$)



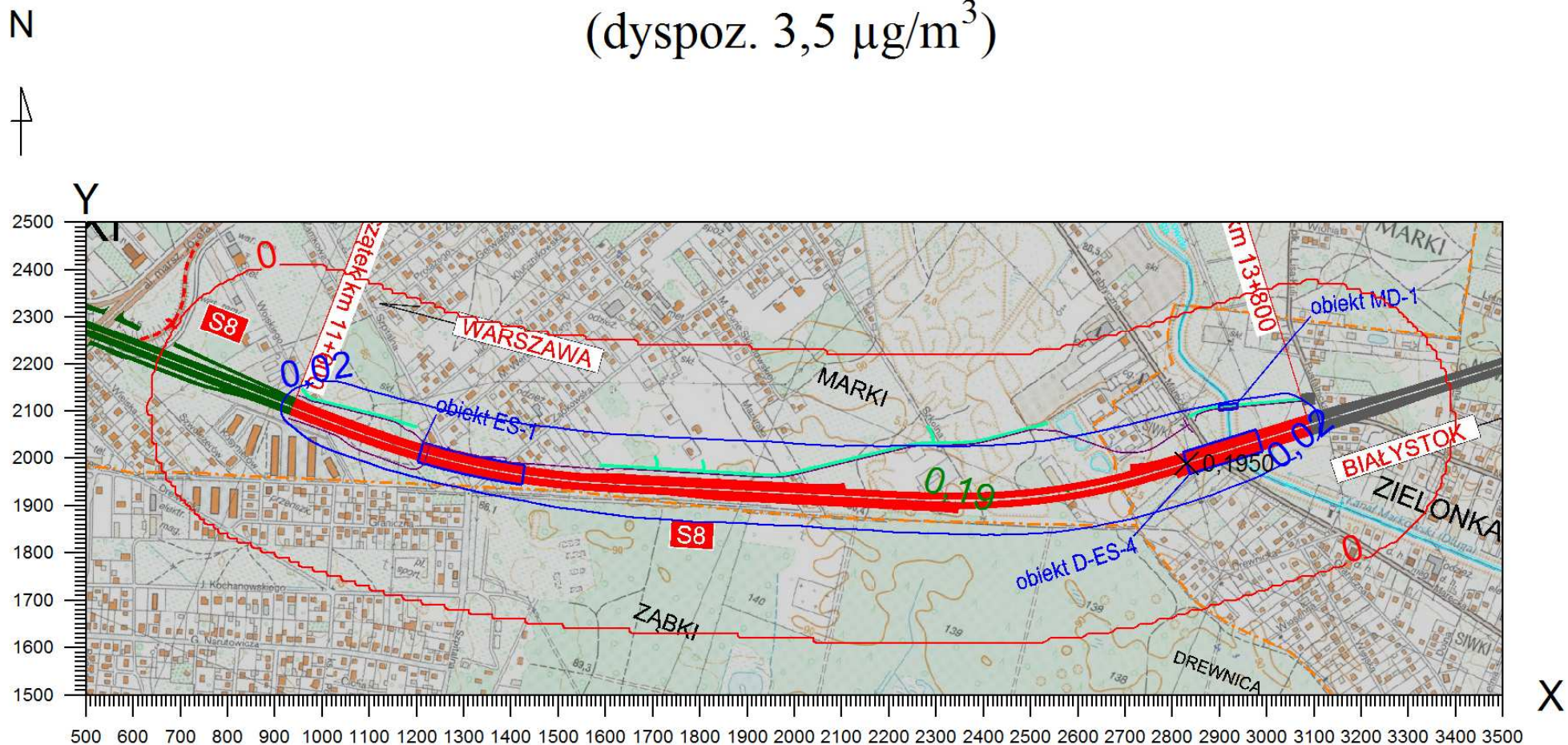
Wykres 8. Wykres stężeń maksymalnych tlenku węgla w roku 2016

Izolinie stężeń maksymalnych tlenku węgla $\mu\text{g}/\text{m}^3$ (dopuszcz. $30000 \mu\text{g}/\text{m}^3$)



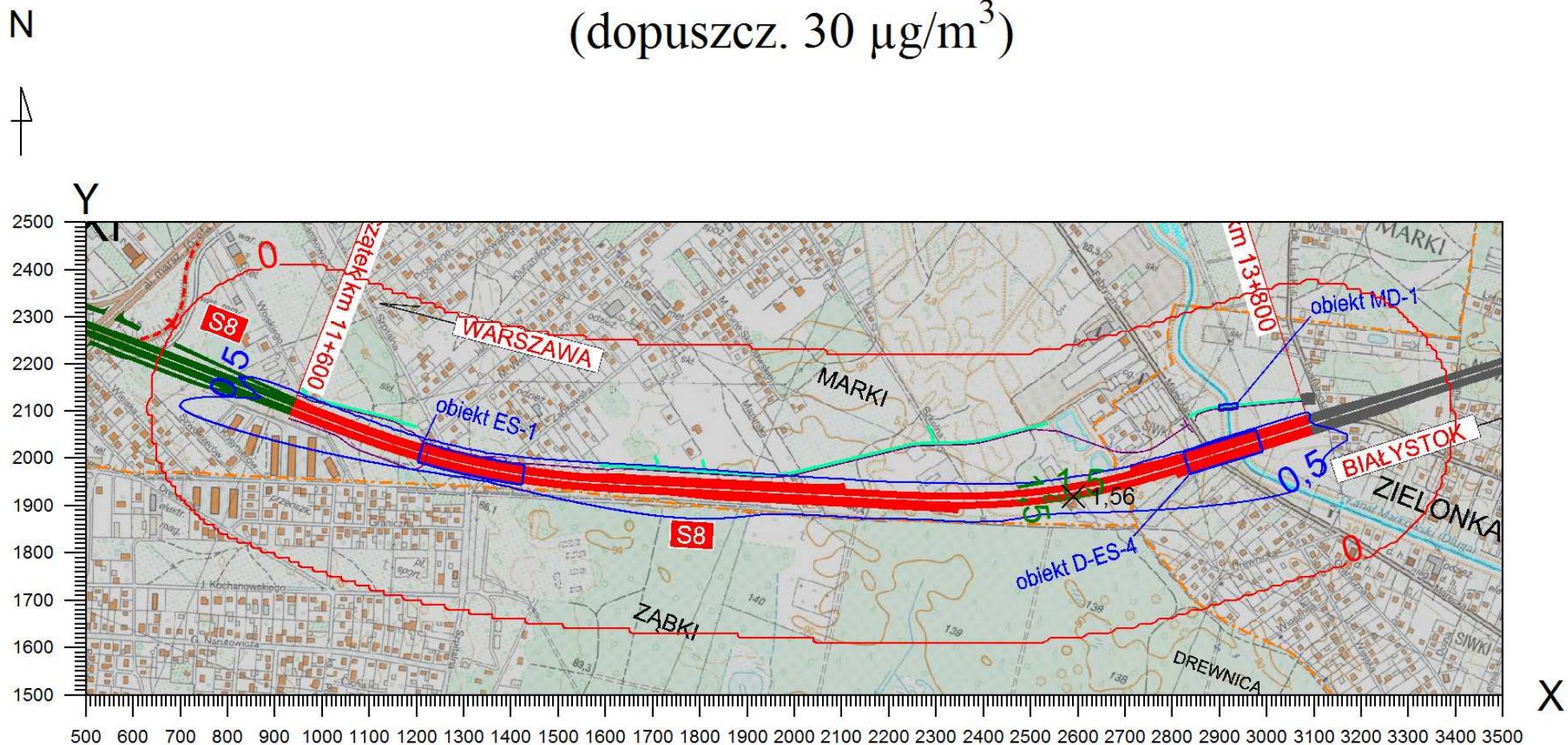
Wykres 9. Wykres stężeń średnich benzenu w roku 2016

Izolinie stężeń średnich benzenu $\mu\text{g}/\text{m}^3$ (dyspoz. $3,5 \mu\text{g}/\text{m}^3$)



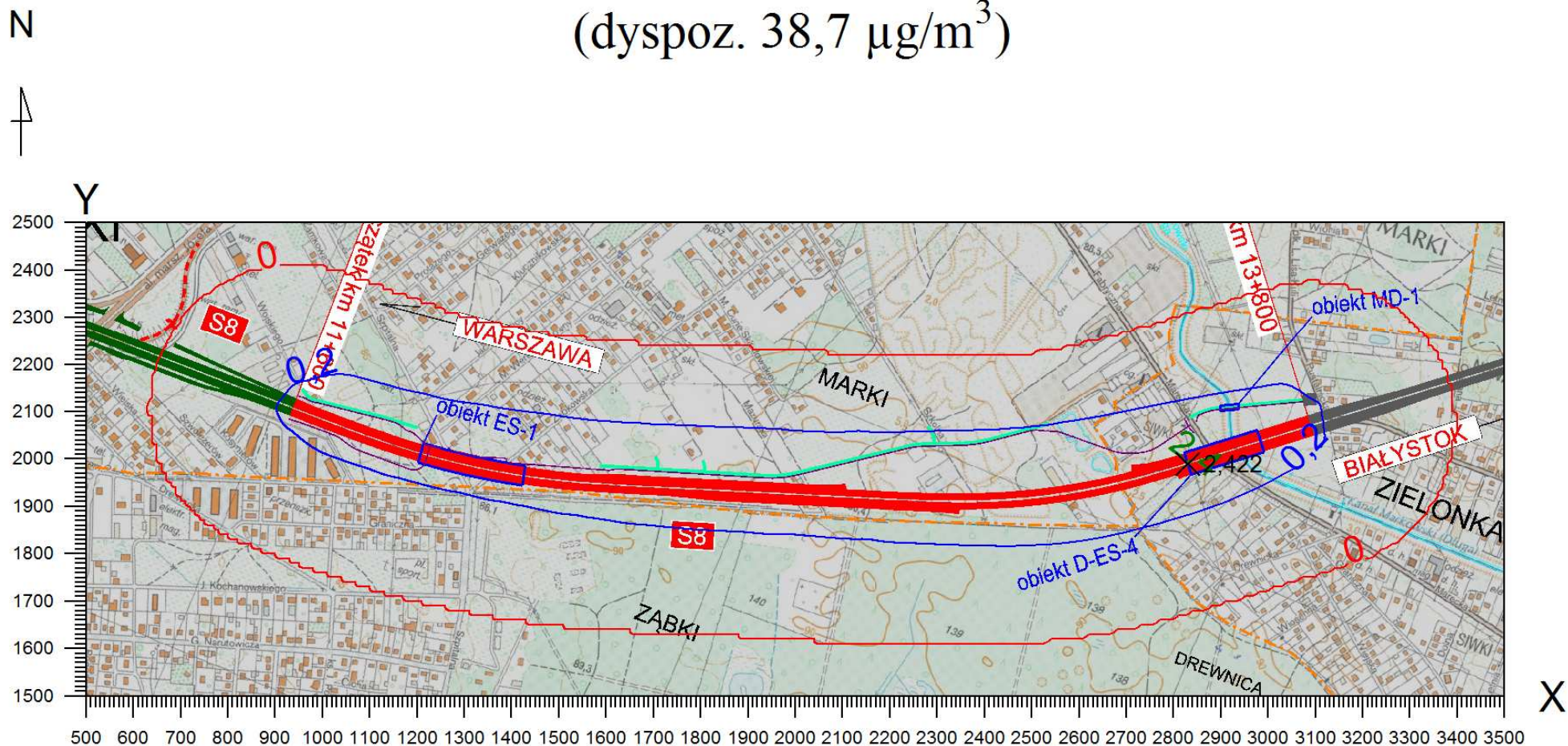
Wykres 10. Wykres stężeń maksymalnych benzenu w roku 2016

Izolinie stężeń maksymalnych benzenu $\mu\text{g}/\text{m}^3$ (dopuszcz. $30 \mu\text{g}/\text{m}^3$)



Wykres 11. Wykres stężeń średnich węglowodorów aromatycznych w roku 2016

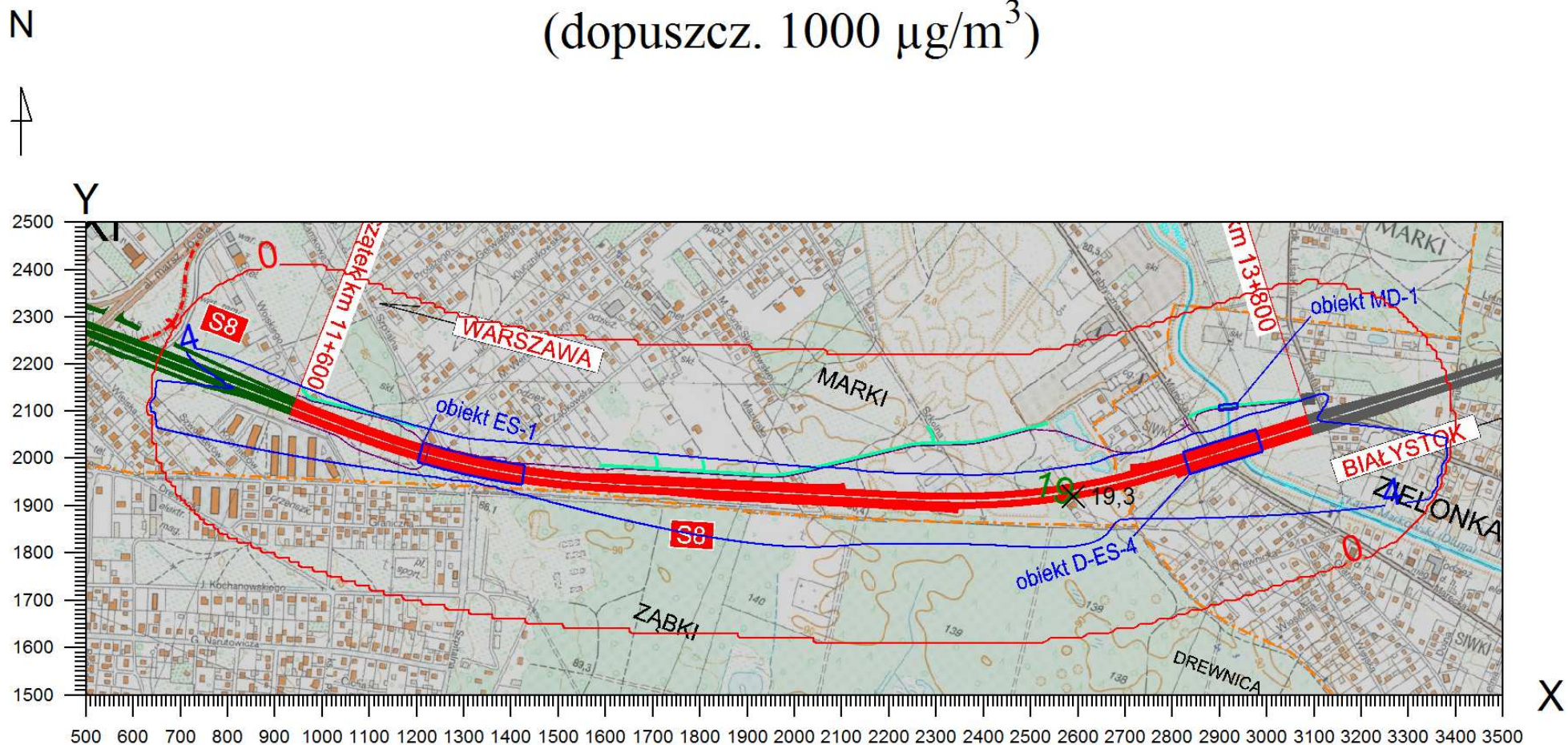
Izolinie stężeń średnich węglowodorów aromatyczne $\mu\text{g}/\text{m}^3$ (dyspoz. $38,7 \mu\text{g}/\text{m}^3$)



Wykres 12. Wykres stężeń maksymalnych węglowodorów aromatycznych w roku 2016

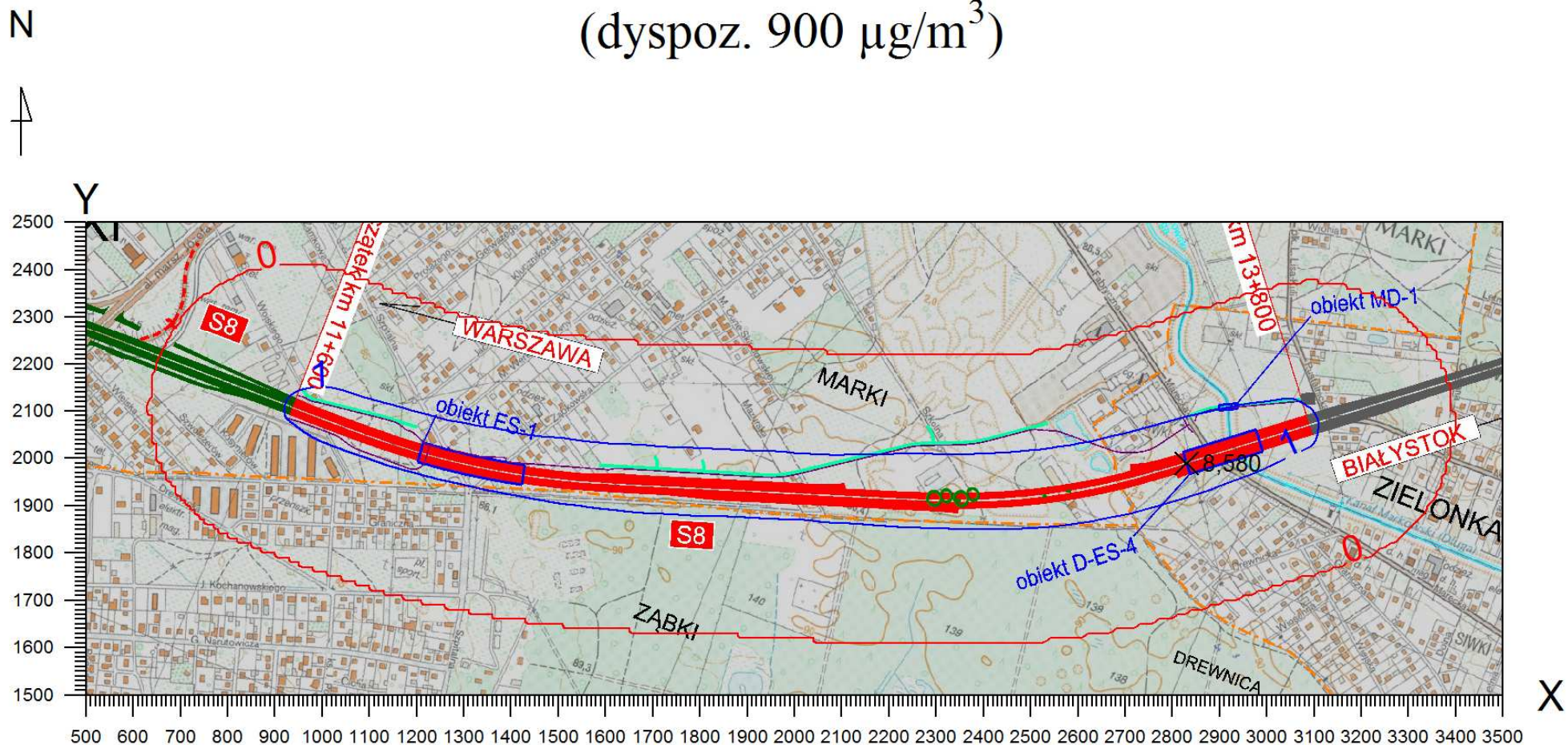
Izolinie stężeń maksymalnych węglowodorów aromatyczne $\mu\text{g}/\text{m}^3$

(dopuszcz. $1000 \mu\text{g}/\text{m}^3$)



Wykres 13. Wykres stężeń średnich węglowodorów alifatycznych w roku 2016

Izolinie stężeń średnich węglowodorów alifatycznych $\mu\text{g}/\text{m}^3$ (dyspoz. $900 \mu\text{g}/\text{m}^3$)

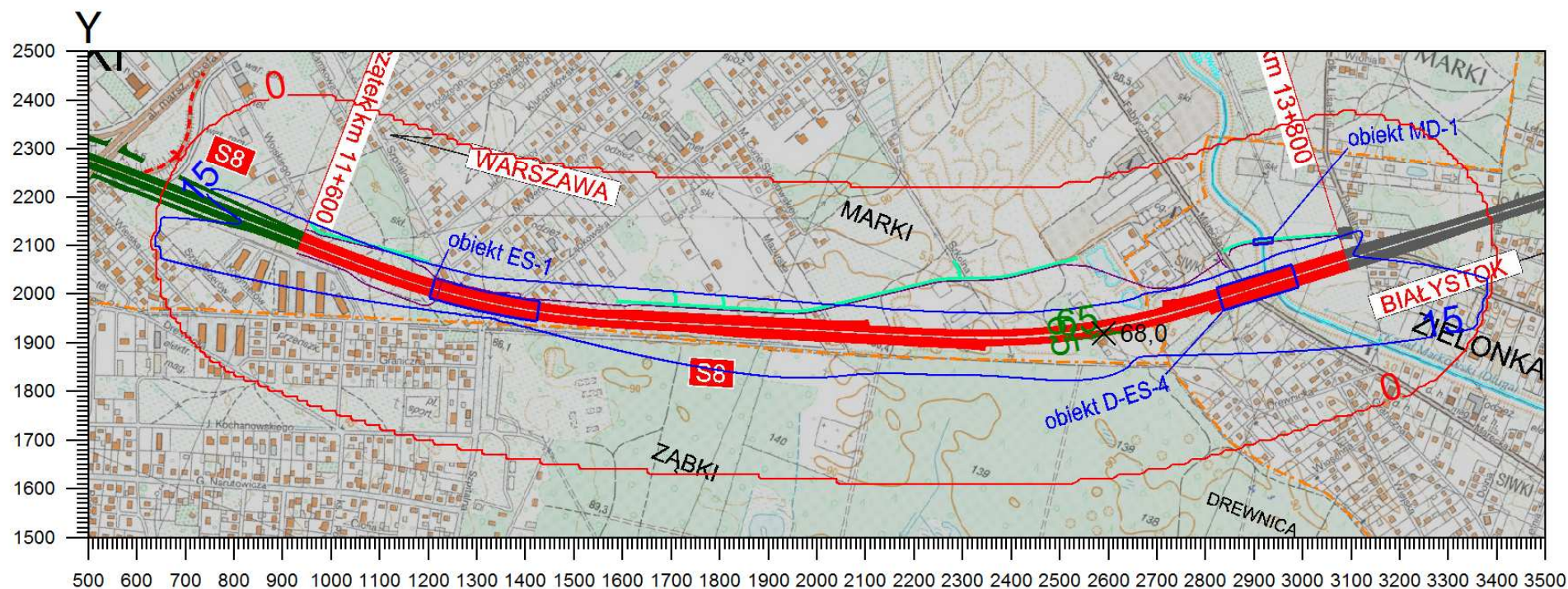


Wykres 14. Wykres stężeń maksymalnych węglowodorów alifatycznych w roku 2016

Izolinie stężeń maksymalnych węglowodorów alifatycznych $\mu\text{g}/\text{m}^3$

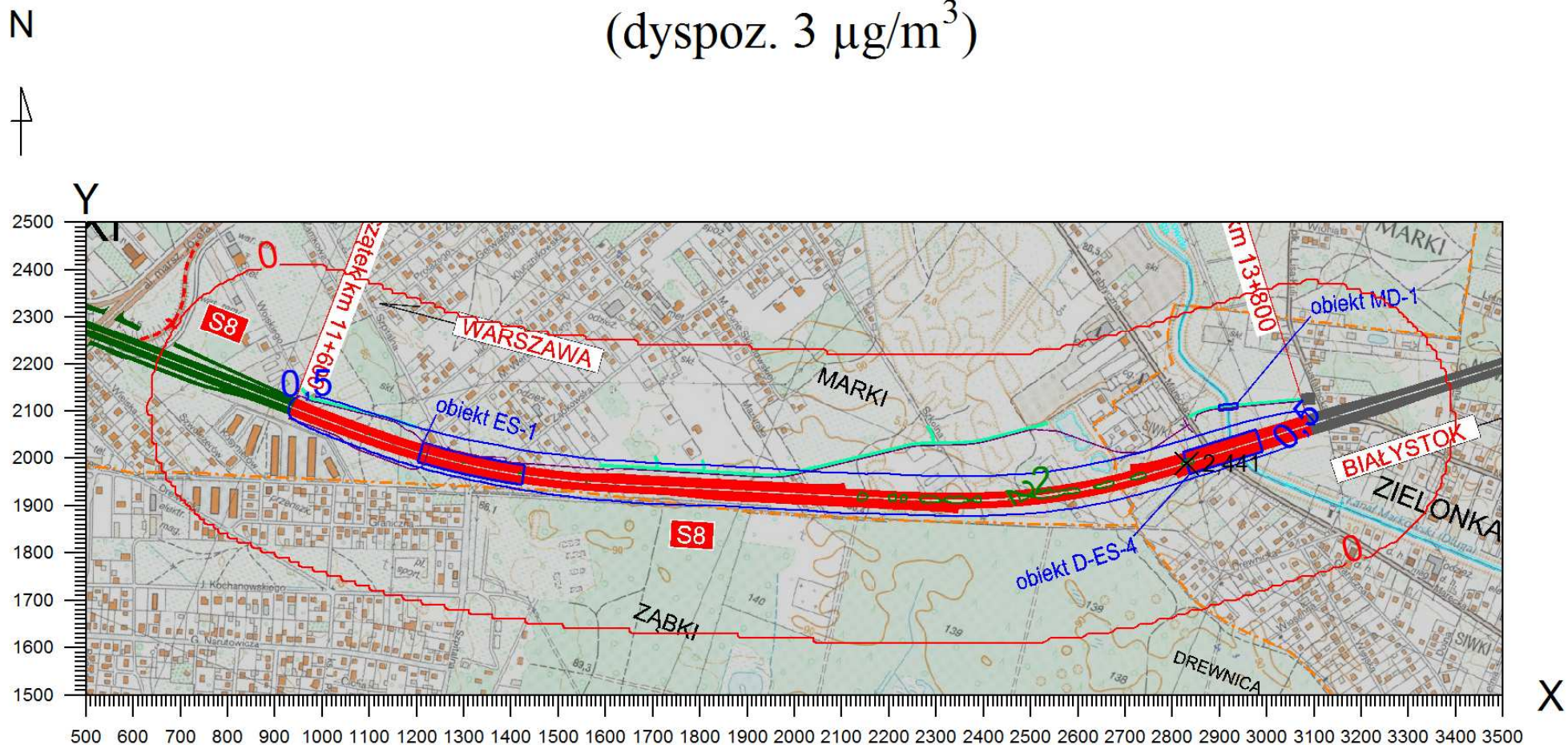
(dopuszcz. $3000 \mu\text{g}/\text{m}^3$)

N



Wykres 15. Wykres stężeń średnich pyłu PM 2,5 w roku 2016

Izolinie stężeń średnich pyłu zawieszonego PM 2,5 $\mu\text{g}/\text{m}^3$ (dyspoz. 3 $\mu\text{g}/\text{m}^3$)

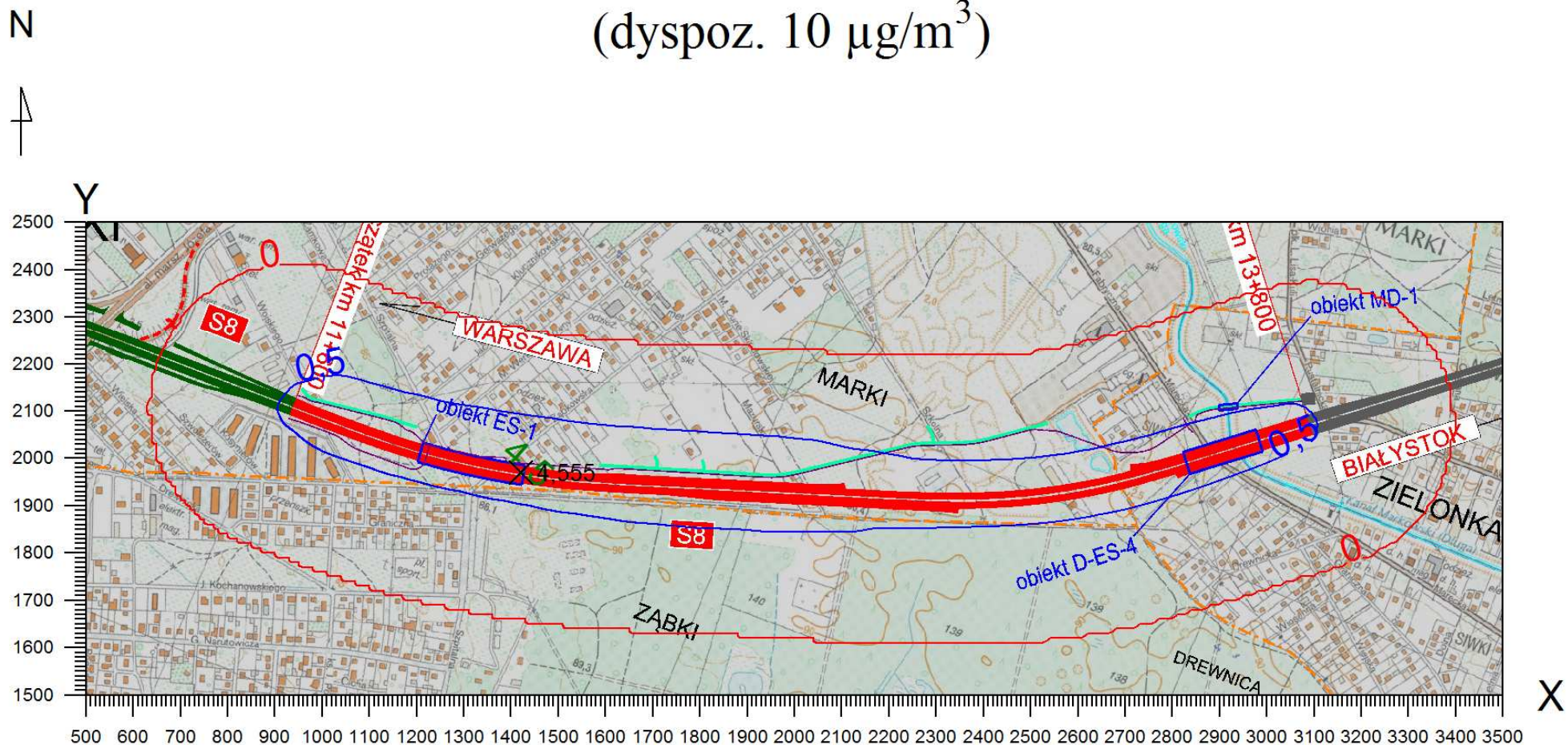


Wykres 16. Wykres stężeń maksymalnych pyłu PM 2,5 w roku 2016



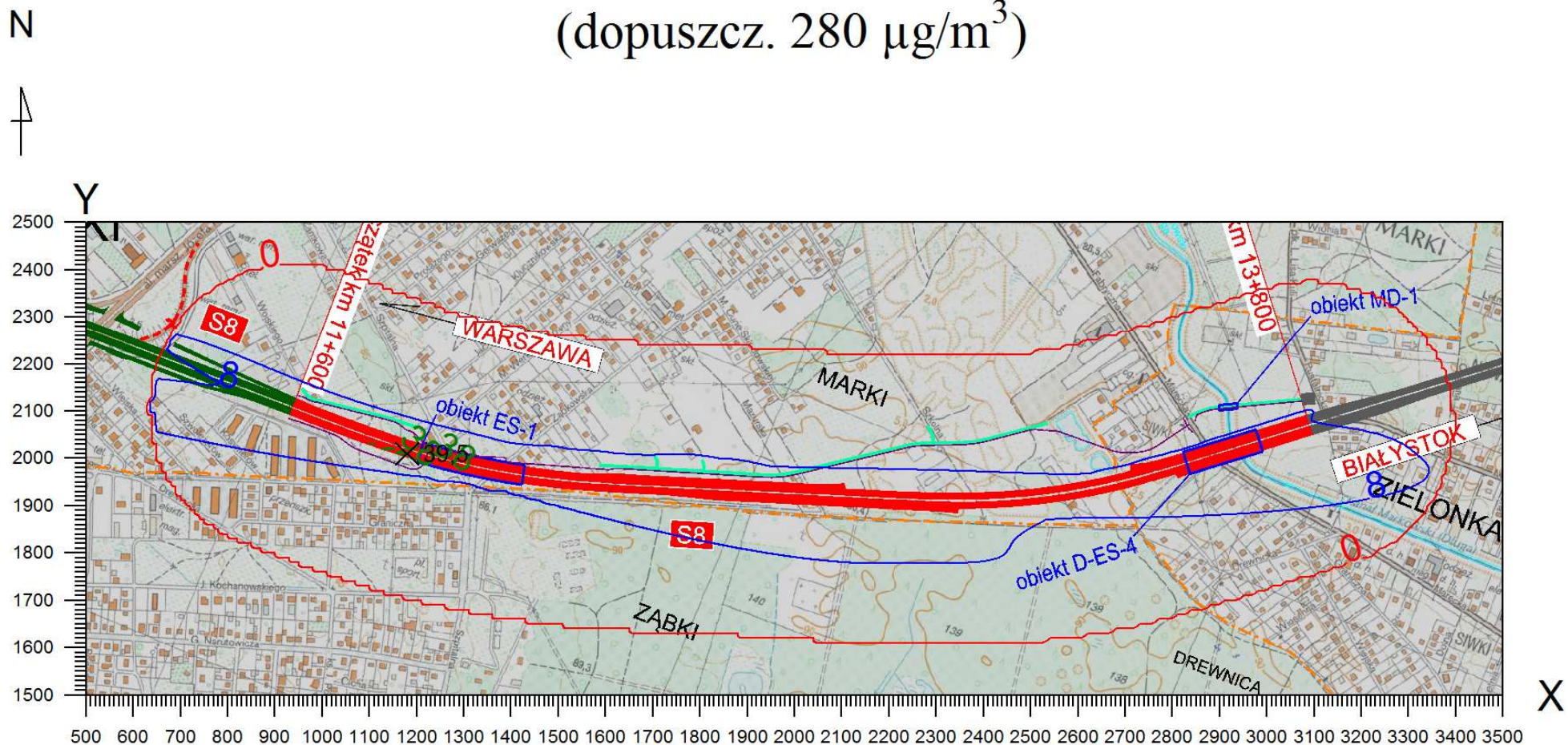
Wykres 17. Wykres stężeń średnich pyłu PM 10 w roku 2031

Izolinie stężeń średnich pyłu PM-10 $\mu\text{g}/\text{m}^3$ (dyspoz. $10 \mu\text{g}/\text{m}^3$)



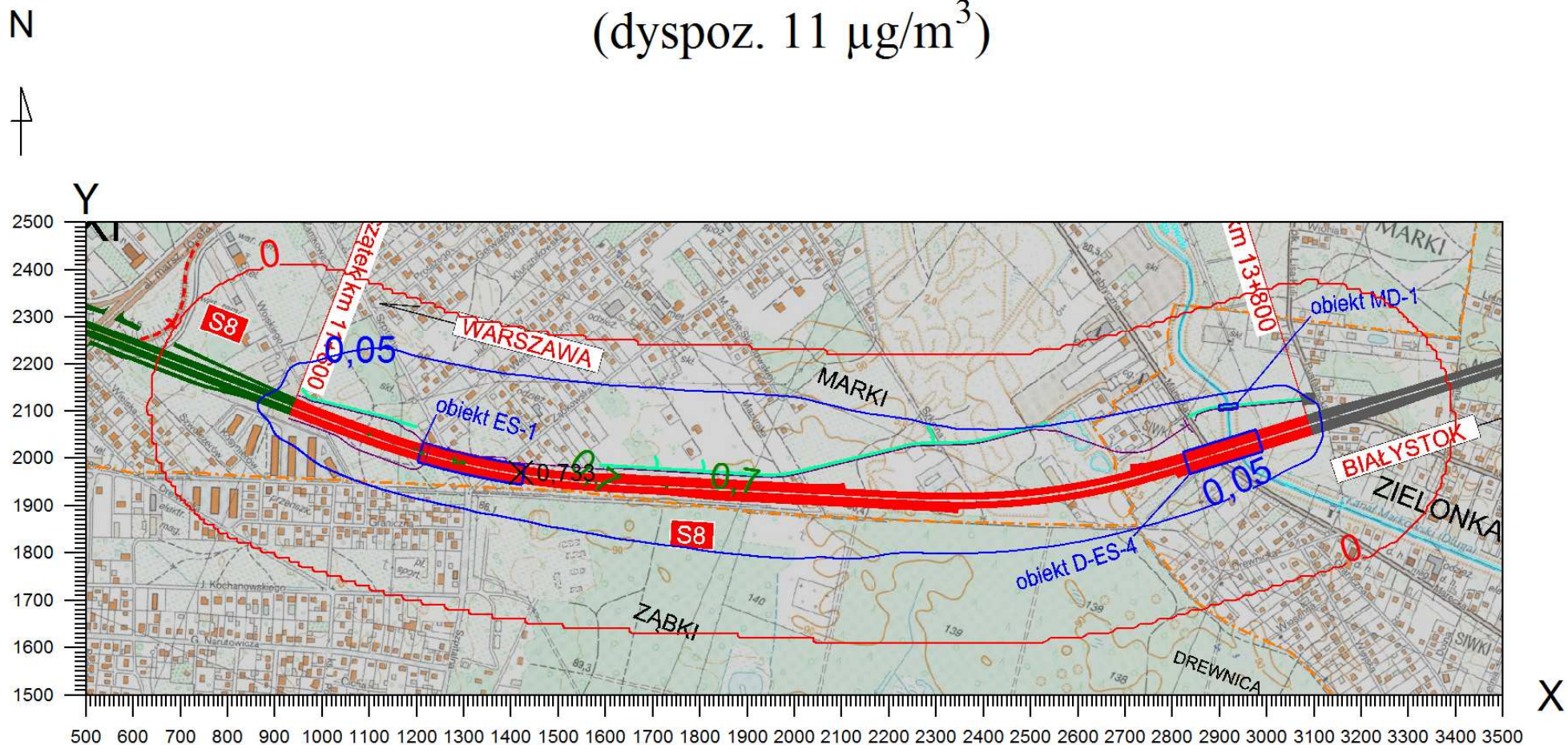
Wykres 18. Wykres stężeń maksymalnych pyłu PM 10 w roku 2031

Izolinie stężeń maksymalnych pyłu PM-10 $\mu\text{g}/\text{m}^3$ (dopuszcz. $280 \mu\text{g}/\text{m}^3$)



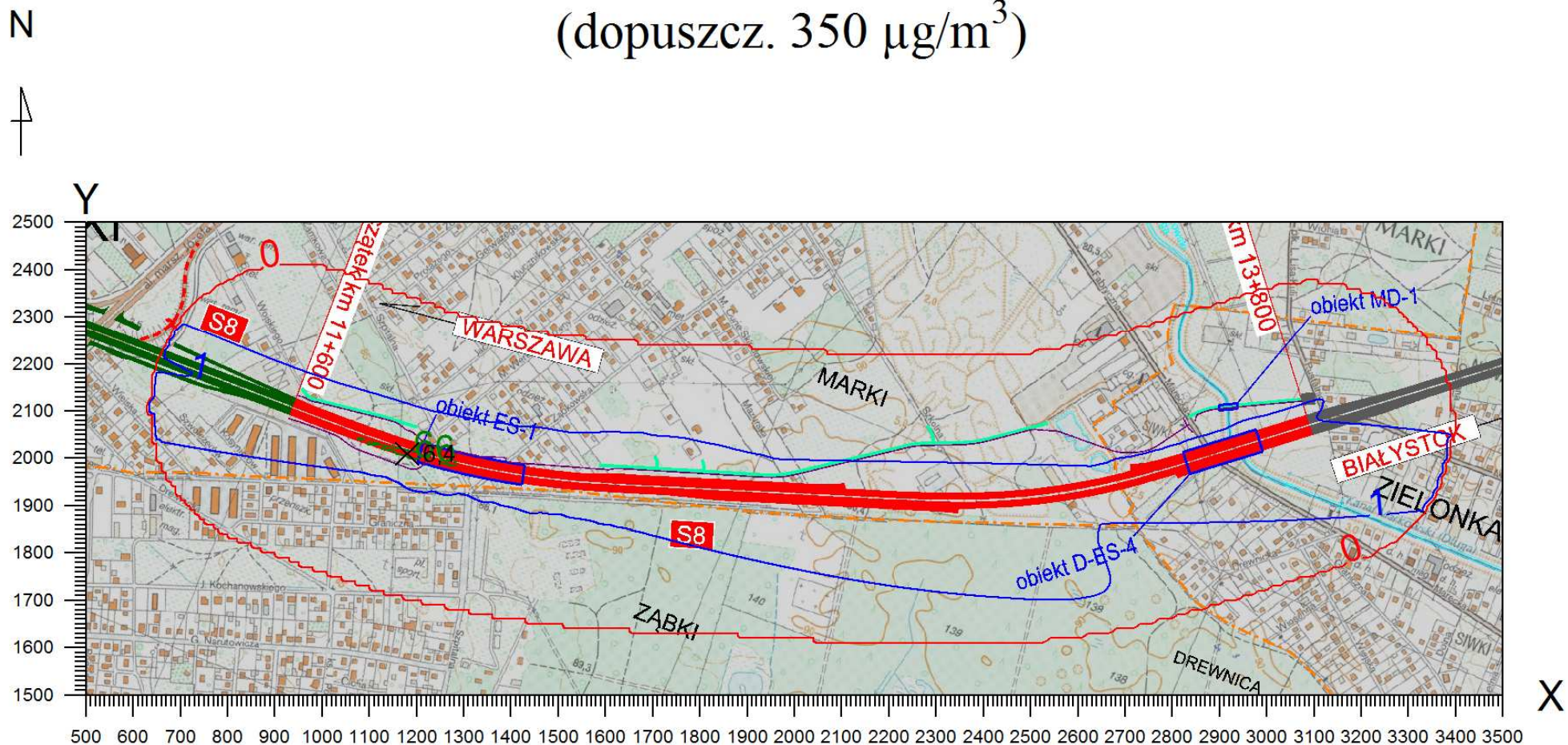
Wykres 19. Wykres stężeń średnich dwutlenku siarki w roku 2031

Izolinie stężeń średnich dwutlenku siarki $\mu\text{g}/\text{m}^3$ (dyspoz. $11 \mu\text{g}/\text{m}^3$)



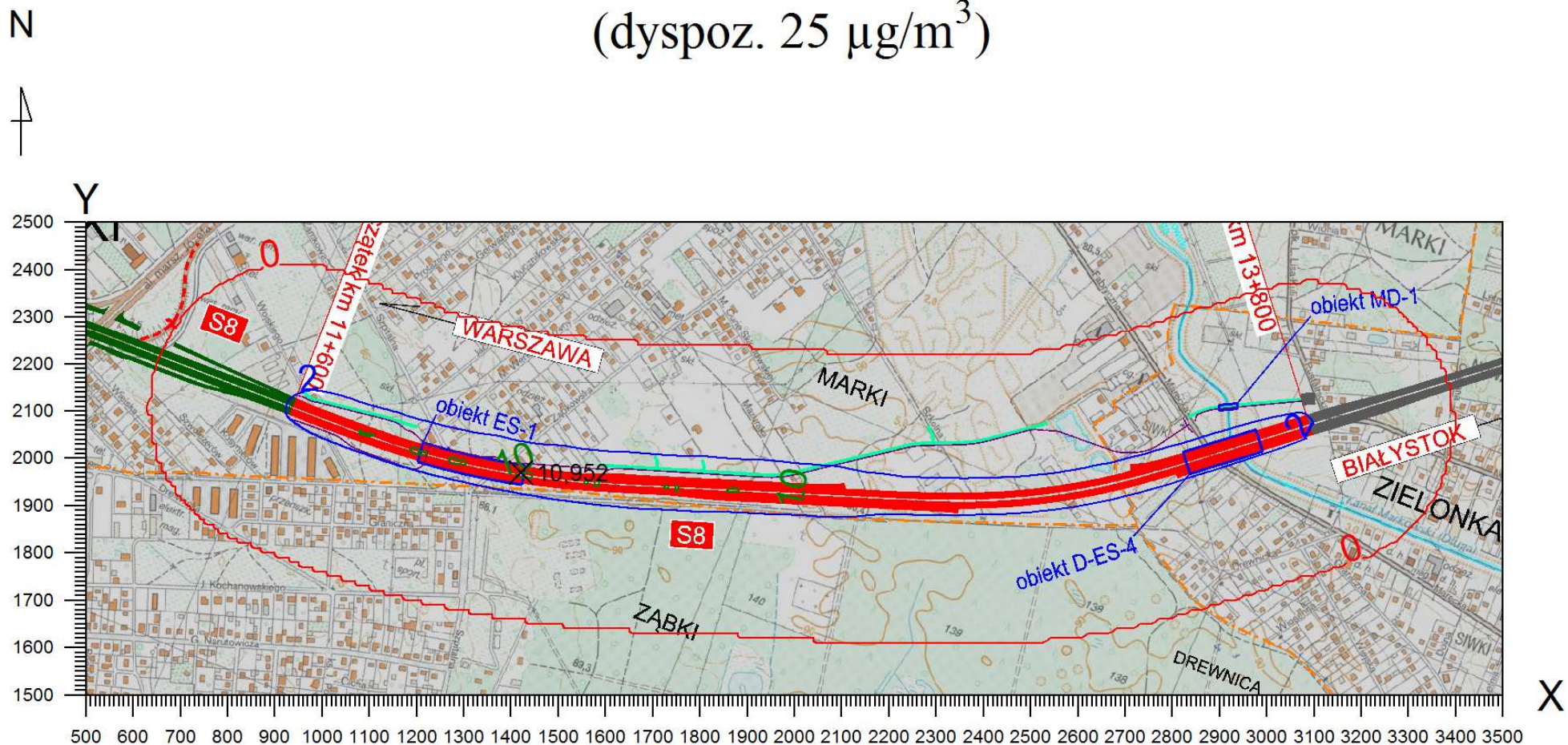
Wykres 20. Wykres stężeń maksymalnych dwutlenku siarki w roku 2031

Izolinie stężeń maksymalnych dwutlenku siarki $\mu\text{g}/\text{m}^3$ (dopuszcz. $350 \mu\text{g}/\text{m}^3$)



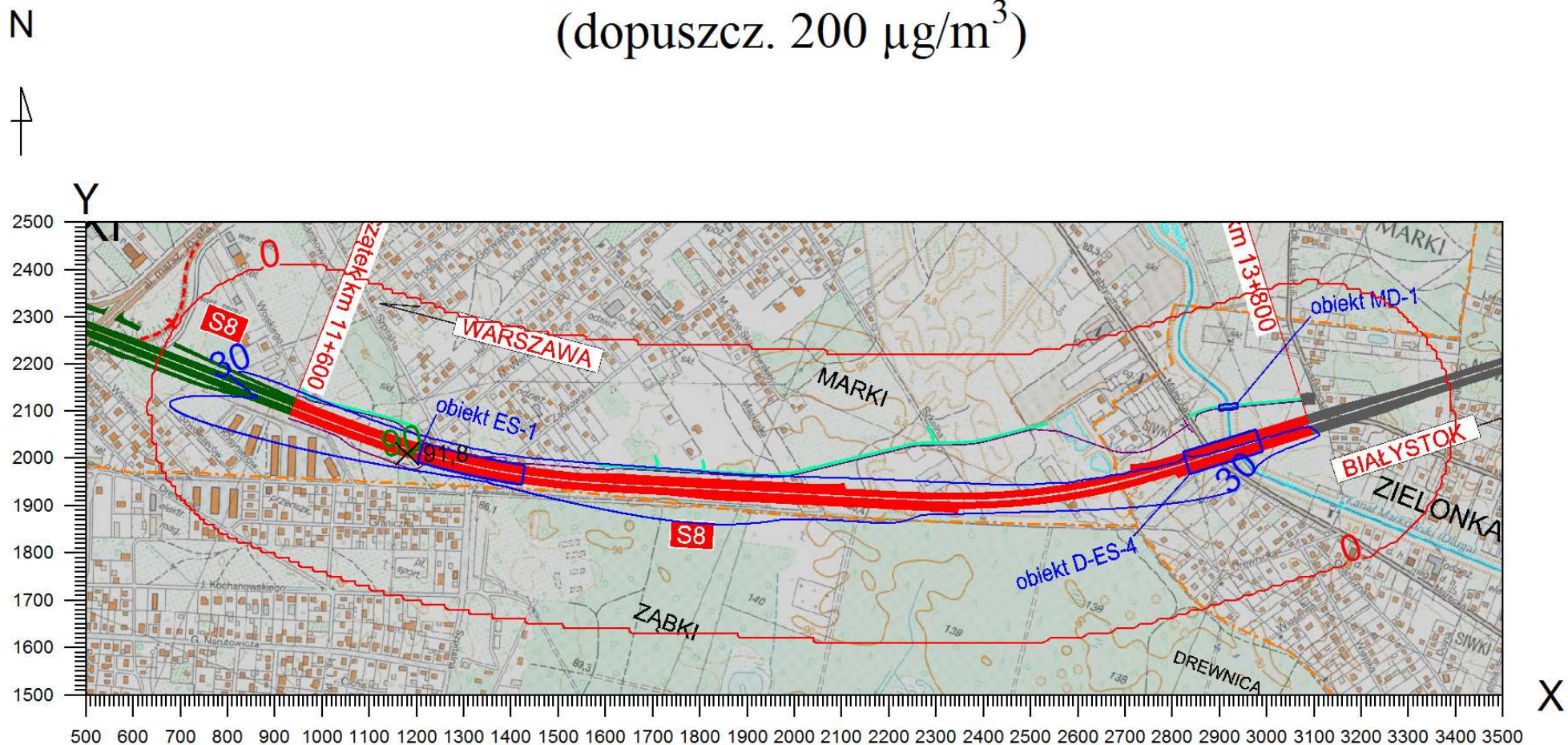
Wykres 21. Wykres stężeń średnich dwutlenku azotu w roku 2031

Izolinie stężeń średnich dwutlenku azotu $\mu\text{g}/\text{m}^3$ (dyspoz. $25 \mu\text{g}/\text{m}^3$)



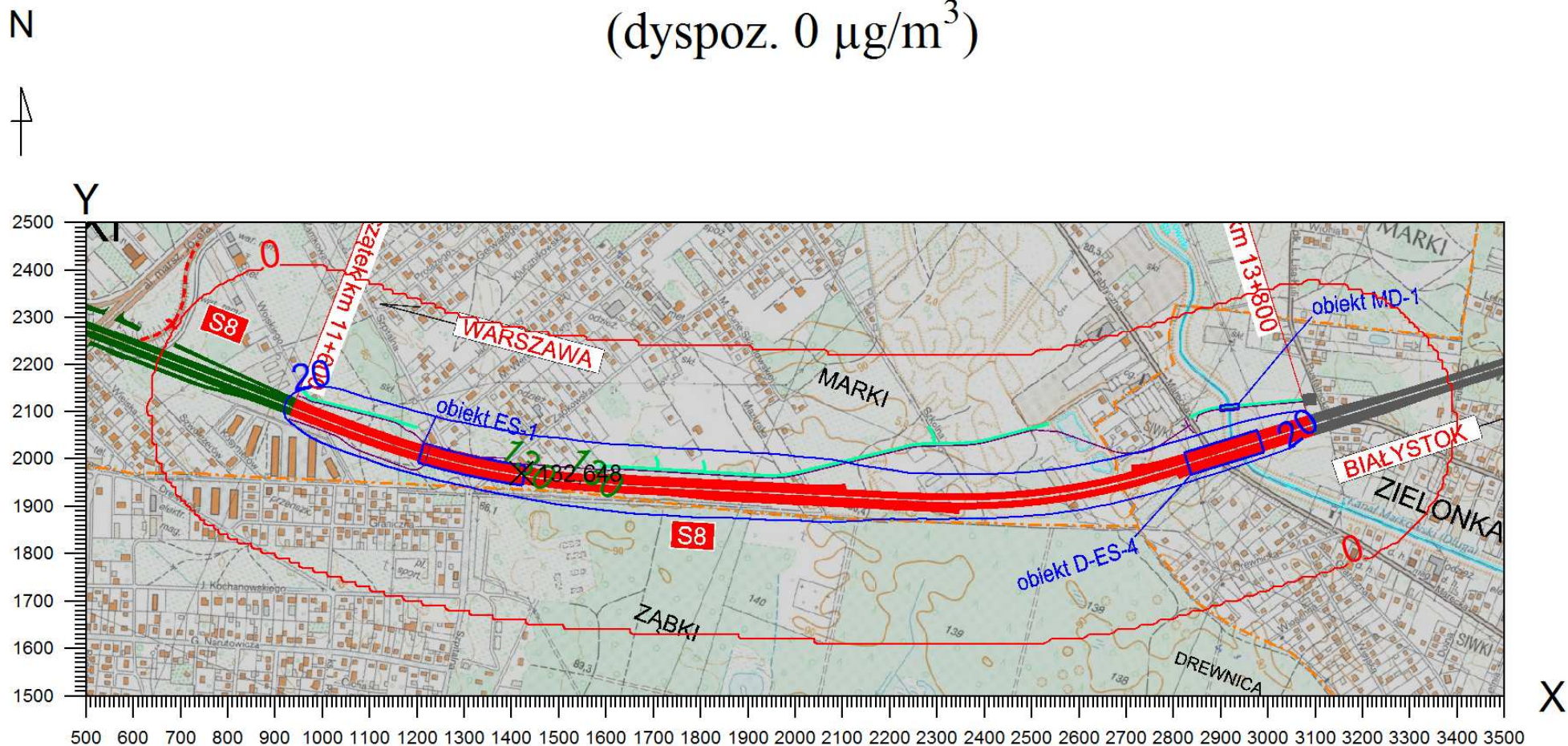
Wykres 22. Wykres stężeń maksymalnych tlenków azotu w roku 2031

Izolinie stężeń maksymalnych dwutlenku azotu $\mu\text{g}/\text{m}^3$ (dopuszcz. $200 \mu\text{g}/\text{m}^3$)



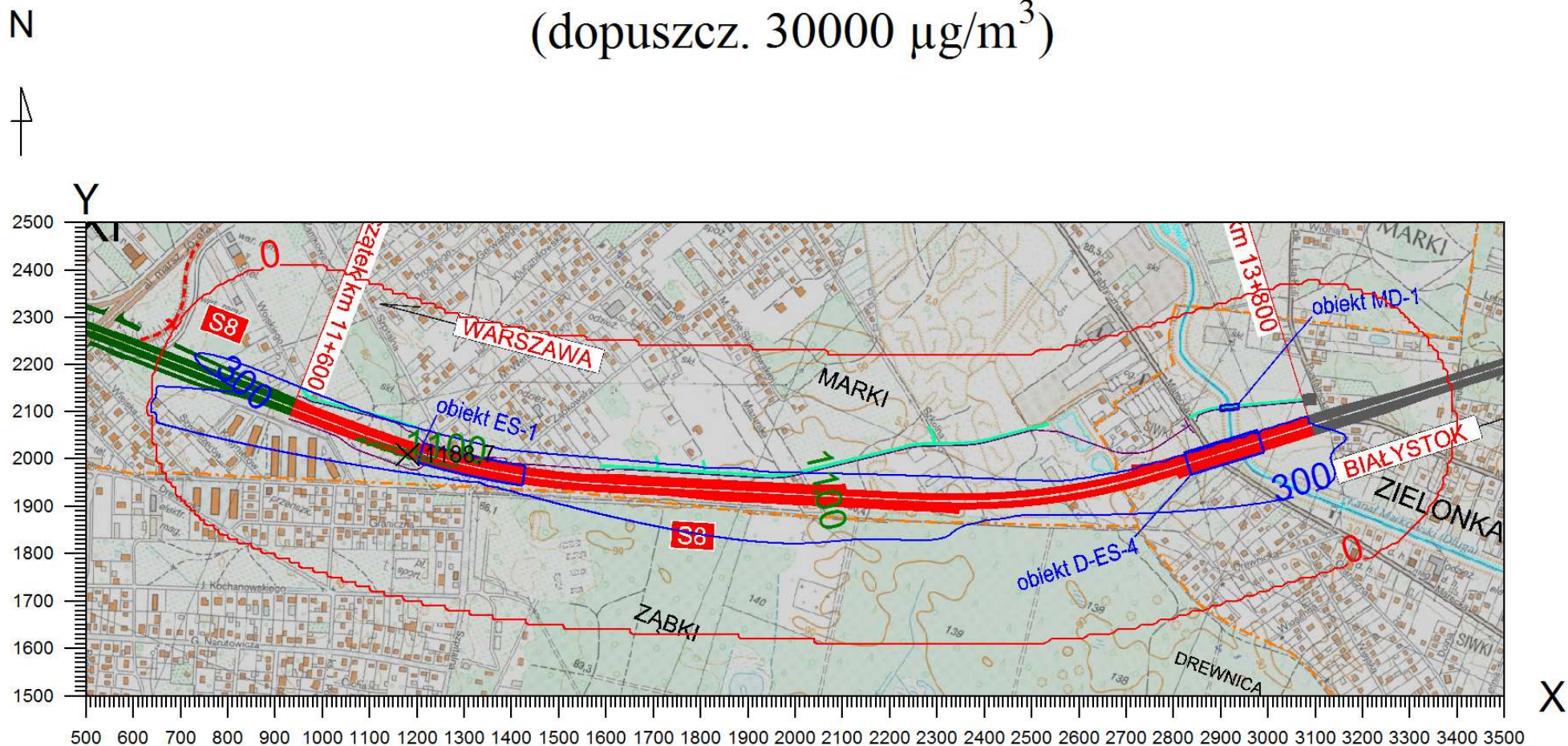
Wykres 23. Wykres stężeń średnich tlenku węgla w roku 2031

Izolinie stężeń średnich tlenku węgla $\mu\text{g}/\text{m}^3$ (dyspoz. 0 $\mu\text{g}/\text{m}^3$)



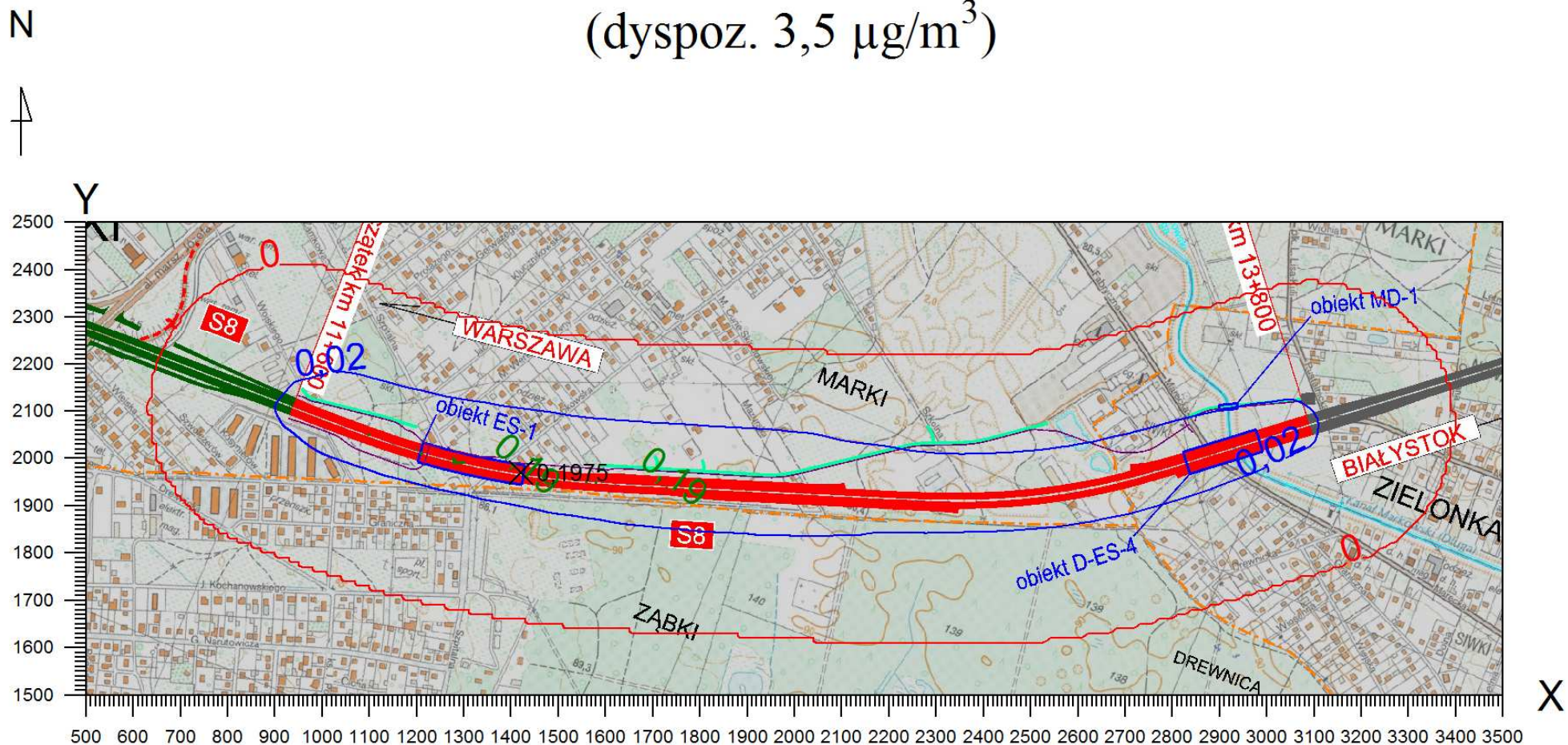
Wykres 24. Wykres stężeń maksymalnych tlenku węgla w roku 2031

Izolinie stężeń maksymalnych tlenku węgla $\mu\text{g}/\text{m}^3$ (dopuszcz. $30000 \mu\text{g}/\text{m}^3$)



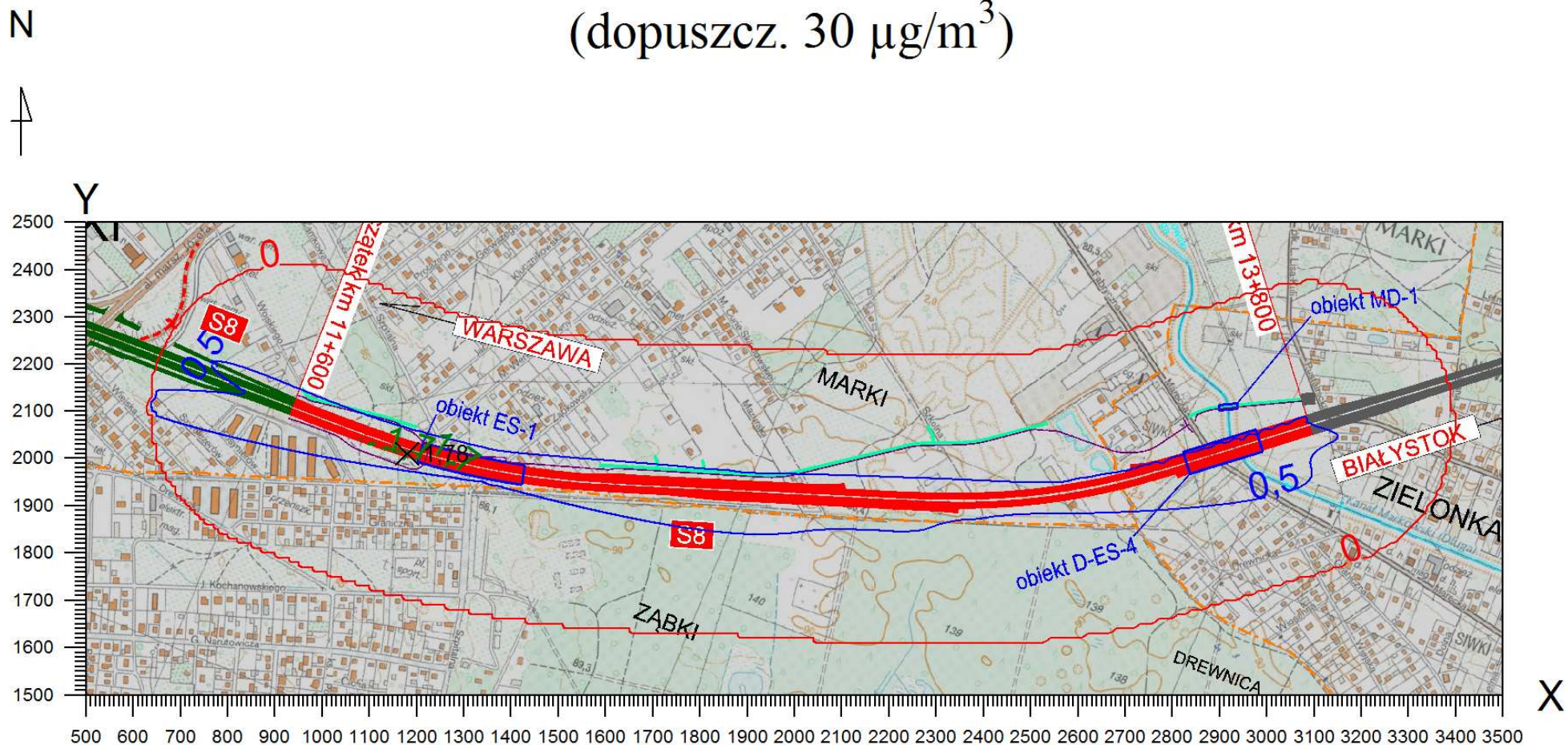
Wykres 25. Wykres stężeń średnich benzenu w roku 2031

Izolinie stężeń średnich benzenu $\mu\text{g}/\text{m}^3$ (dyspoz. $3,5 \mu\text{g}/\text{m}^3$)



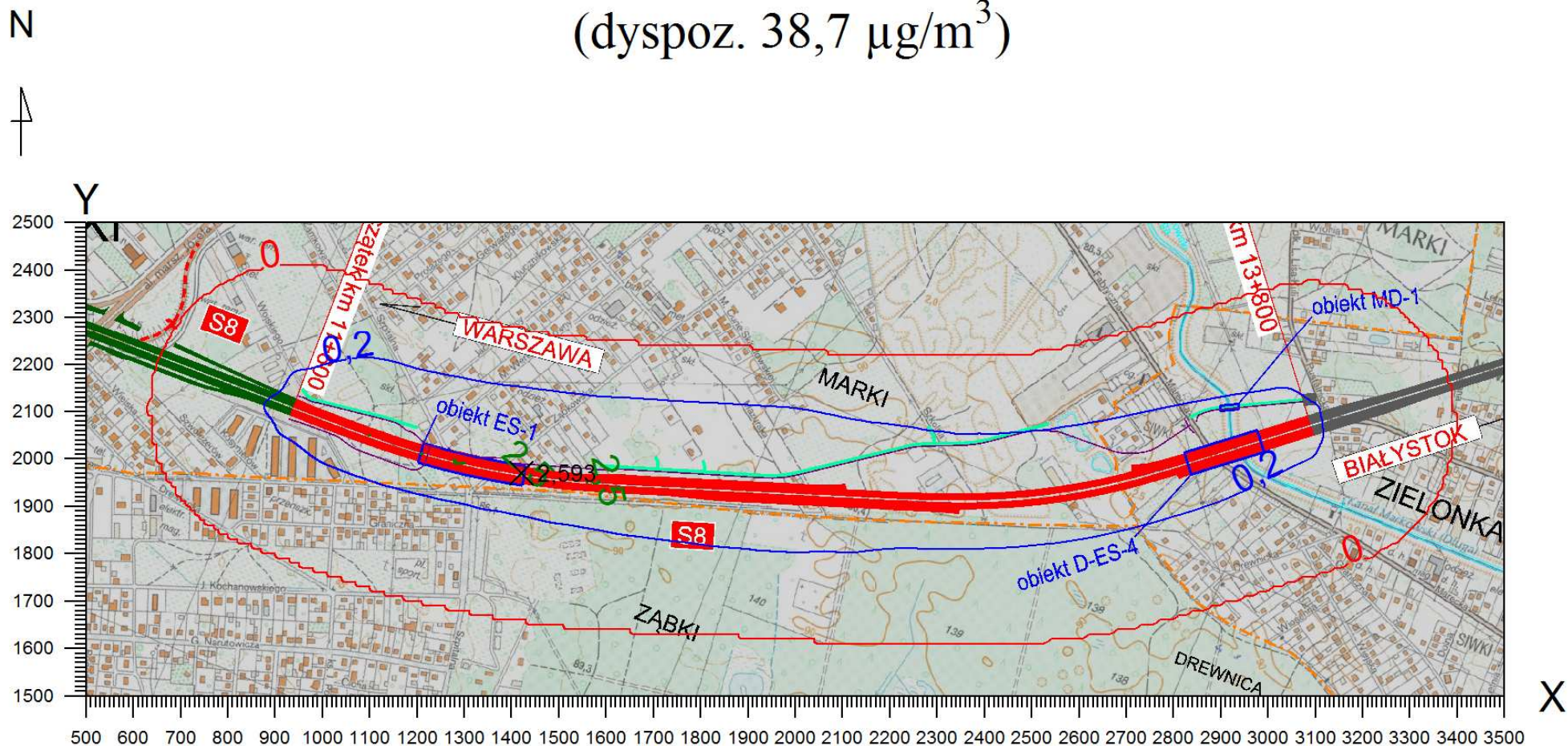
Wykres 26. Wykres stężeń maksymalnych benzenu w roku 2031

Izolinie stężeń maksymalnych benzenu $\mu\text{g}/\text{m}^3$ (dopuszcz. $30 \mu\text{g}/\text{m}^3$)



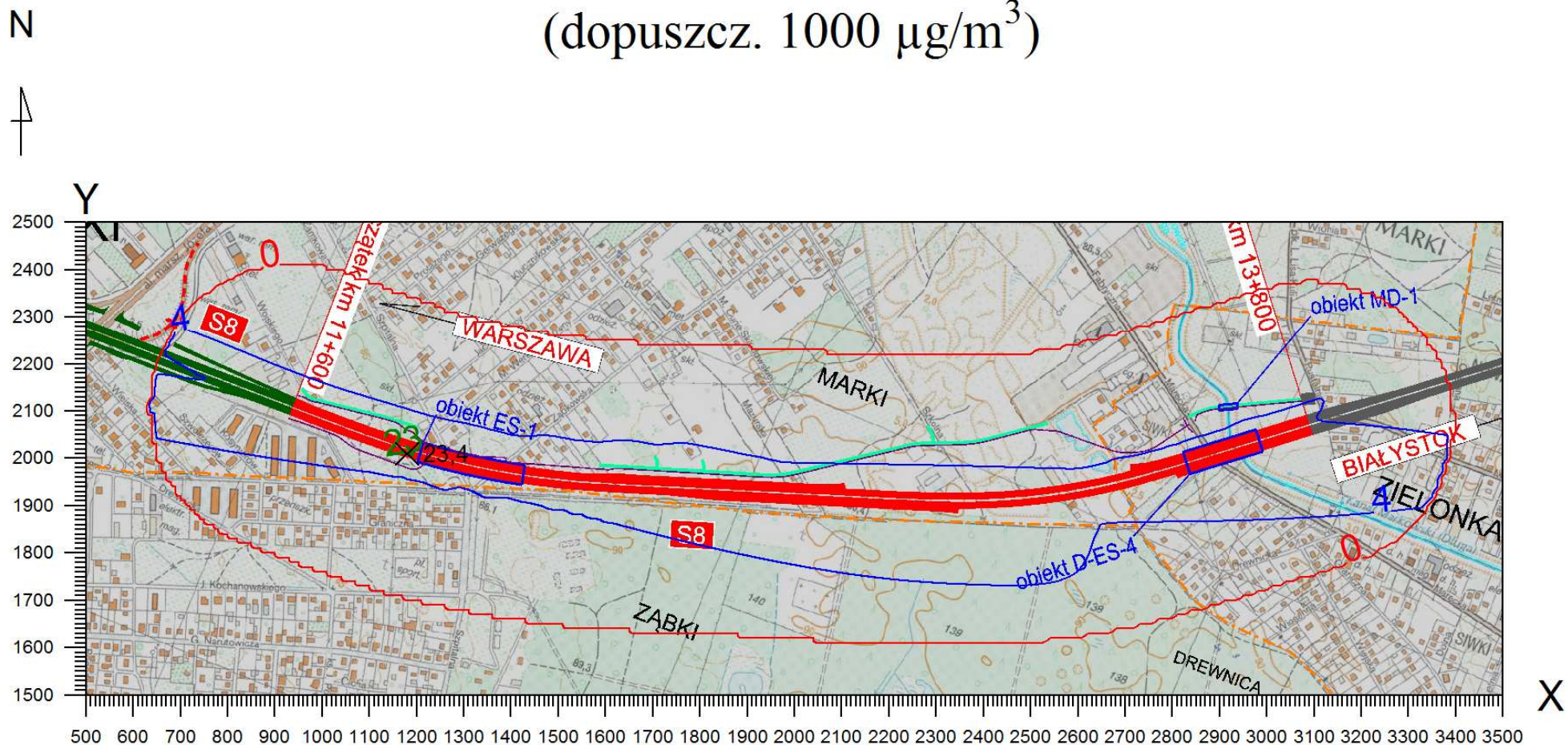
Wykres 27. Wykres stężeń średnich węglowodorów aromatycznych w roku 2031

Izolinie stężeń średnich węglowodorów aromatyczne $\mu\text{g}/\text{m}^3$ (dyspoz. $38,7 \mu\text{g}/\text{m}^3$)



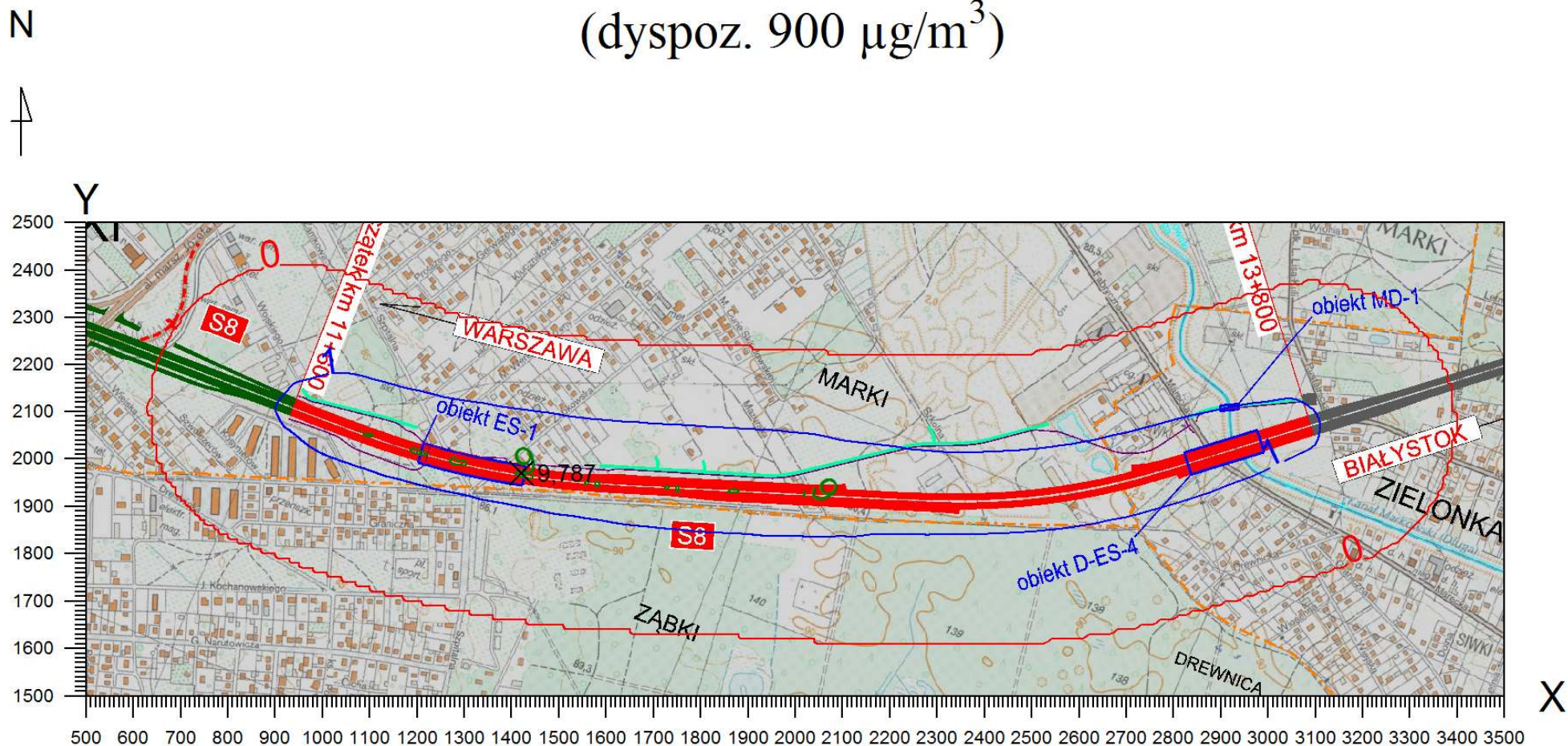
Wykres 28. Wykres stężeń maksymalnych węglowodorów aromatycznych w roku 2031

Izolinie stężeń maksymalnych węglowodorów aromatyczne $\mu\text{g}/\text{m}^3$ (dopuszcz. $1000 \mu\text{g}/\text{m}^3$)



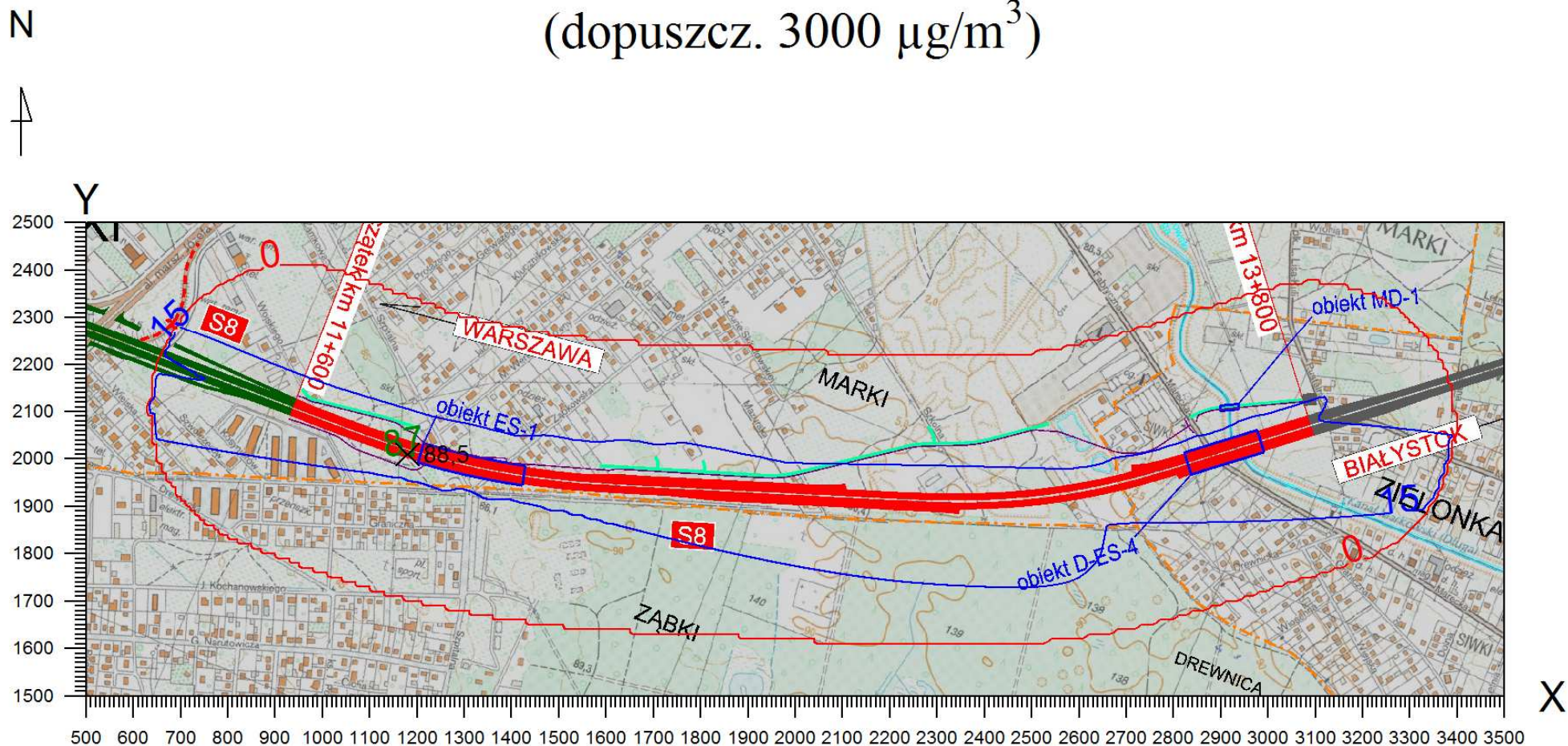
Wykres 29. Wykres stężeń średnich węglowodorów alifatycznych w roku 2031

Izolinie stężeń średnich węglowodorów alifatycznych $\mu\text{g}/\text{m}^3$ (dyspoz. $900 \mu\text{g}/\text{m}^3$)



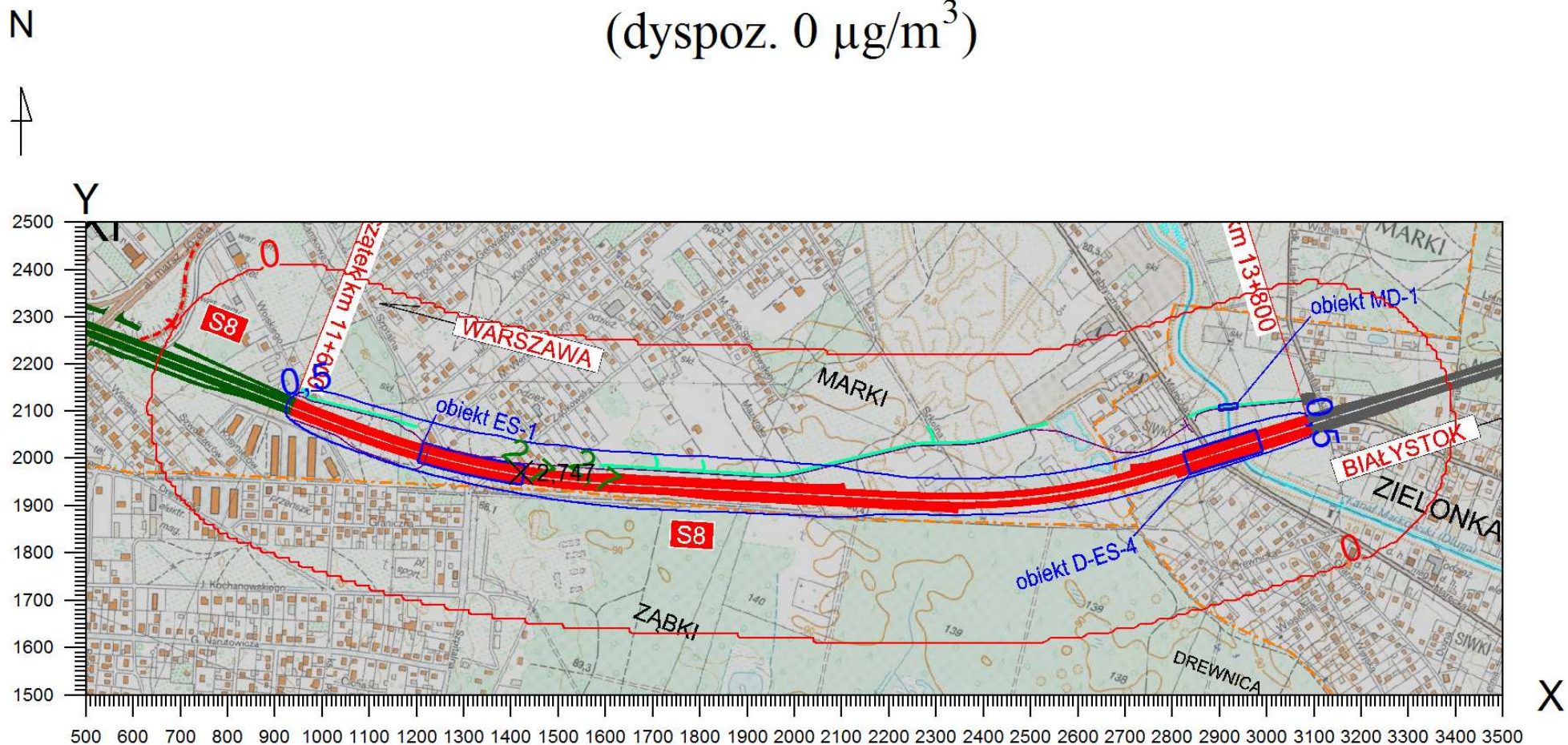
Wykres 30. Wykres stężeń maksymalnych węglowodorów alifatycznych w roku 2031

Izolinie stężeń maksymalnych węglowodorów alifatycznych $\mu\text{g}/\text{m}^3$ (dopuszcz. $3000 \mu\text{g}/\text{m}^3$)



Wykres 31. Wykres stężeń średnich pyłu PM 2,5 w roku 2031

Izolinie stężeń średnich pyłu zawieszonego PM 2,5 $\mu\text{g}/\text{m}^3$ (dyspoz. 0 $\mu\text{g}/\text{m}^3$)



Wykres 32. Wykres stężeń maksymalnych pyłu PM 2,5 w roku 2031

